

Západočeská univerzita v Plzni

Fakulta aplikovaných věd

Katedra matematiky

# BAKALÁŘSKÁ PRÁCE

Fučíkovo spektrum pro úlohy s  
nelokálními okrajovými podmínkami

Plzeň 2016

Karolína Netrvalová

## Prohlášení

Prohlašuji, že jsem bakalářskou práci vypracovala samostatně a výhradně s použitím odborné literatury a pramenů, jejichž úplný seznam je její součástí.

V Plzni dne 29. července 2016

.....  
vlastnoruční podpis

## Poděkování

Ráda bych poděkovala panu Ing. Petru Nečesalovi, Ph.D., vedoucímu mé bakalářské práce, za odborné vedení, ochotu, trpělivost a čas, který mi věnoval na mnoha konzultacích. Moc si toho vážím.

## Abstrakt

Tato bakalářská práce se zabývá Fučíkovým spektrem okrajových úloh pro diferenciální rovnice druhého řádu. Nejprve řešíme úlohu s Dirichletovými okrajovými podmínkami. V další části studujeme úlohu s nelokální okrajovou podmínkou. Hlavní výsledky práce se týkají úlohy, která je ve tvaru

$$\begin{cases} u''(x) + \alpha u^+(x) - \beta u^-(x) = 0, & x \in (0, \pi), \\ u(0) = 0, \quad \int_p^\pi u(x) dx = 0, & 0 \leq p < \pi. \end{cases}$$

Zaměříme se hlavně na strukturu Fučíkova spektra této úlohy. Poslední část je pak věnována numerické konstrukci Fučíkova spektra.

**Klíčová slova:** Fučíkovo spektrum, okrajová úloha, nelokální okrajová úloha

## Abstract

This Bachelor Thesis deals with the Fučík spectrum of boundary value problems for second order differential equations. First we solve Dirichlet boundary value problem. In the next part we focus on nonlocal boundary value problem. Main results of this Thesis concern the nonlocal boundary value problem

$$\begin{cases} u''(x) + \alpha u^+(x) - \beta u^-(x) = 0, & x \in (0, \pi), \\ u(0) = 0, \quad \int_p^\pi u(x) dx = 0, & 0 \leq p < \pi. \end{cases}$$

We focus mainly on the structure of Fučík spectrum of this problem. The last part is dedicated to numerical construction of the Fučík spectrum.

**Keywords:** the Fučík Spectrum, the boundary value problem, the nonlocal boundary value problem

# Obsah

Úvod	2
1 Lineární úloha s Dirichletovými okrajovými podmínkami	3
2 Po částech lineární úloha s Dirichletovými okrajovými podmínkami	7
3 Po částech lineární úloha s nelokální okrajovou podmínkou	12
4 Po částech lineární úloha se zobecněnou nelokální okrajovou podmínkou	18
4.1 Popis Fučíkova spektra pro $p = \frac{\pi}{2}$	18
4.2 Popis Fučíkova spektra pro $0 < p < \pi$	29
4.3 Numerická aproximace Fučíkova spektra	32
Závěr	34

# Úvod

Tato bakalářská práce je zaměřena na studium úlohy, která je ve tvaru

$$\begin{cases} u''(x) + \alpha u^+(x) - \beta u^-(x) = 0, & x \in (0, \pi), \\ u(0) = 0, \quad \int_p^\pi u(x) dx = 0, & 0 \leq p < \pi. \end{cases} \quad (*)$$

Naším cílem bude nalézt všechny dvojice  $(\alpha, \beta) \in \mathbb{R}^2$  takové, pro které má úloha (\*) netriviální řešení. V každé kapitole se budeme věnovat okrajové úloze pro diferenciální rovnici druhého řádu. V první kapitole začneme tou nejjednodušší – lineární úlohou s Dirichletovými okrajovými podmínkami. Najdeme její vlastní čísla a jim odpovídající vlastní funkce.

V druhé kapitole budeme opět studovat úlohou s Dirichletovými okrajovými podmínkami. Tato úloha však již nebude lineární, nýbrž po částech lineární. Definujeme si pojem Fučíkovo spektrum a pro danou úlohu také Fučíkovo spektrum sestrojíme.

Ve třetí kapitole vyměníme jednu Dirichletovu okrajovou podmínku za podmínku v integrálním tvaru. Popis Fučíkova spektra pro tuto úlohu v prvním kvadrantu roviny  $\mathbb{R}^2$  je uveden v článku [3]. Oproti tomuto článku uvedeme popis Fučíkova spektra na celé rovině  $\mathbb{R}^2$ .

Úlohy v kapitolách 1, 2 a 3 byly prostudovány již dříve. Ve čtvrté kapitole se však věnujeme dosud neprostudované úloze (\*). Pro volbu parametru  $p = 0$  je úloha (\*) úlohou uváděnou v kapitole 3. Pro jednoduchost si ukážeme konstrukci Fučíkova spektra pro úlohu (\*) pouze pro hodnotu parametru  $p = \frac{\pi}{2}$ . Pro  $p = \frac{\pi}{2}$  je totiž počet parametrických analytických předpisů pro Fučikovy větve nejmenší. Pokud bychom si chtěli nechat vypočítat počet těchto předpisů pro jiná  $p$ , můžeme využít algoritmus, který je popisován v druhé části této kapitoly. Protože sestavení analytického popisu Fučíkova spektra je časově náročné, uvádíme na závěr této kapitoly algoritmus, který dokáže numericky sestrojít libovolnou část Fučíkova spektra pro úlohu (\*).

# Kapitola 1

## Lineární úloha s Dirichletovými okrajovými podmínkami

V této kapitole uvažujeme lineární Dirichletovu okrajovou úlohu

$$\begin{cases} u''(x) + \lambda u(x) = 0, & x \in (0, \pi), \\ u(0) = u(\pi) = 0, \end{cases} \quad (1.1)$$

kde  $\lambda \in \mathbb{R}$  je parametr. Řešením úlohy (1.1) budeme rozumět takovou funkci  $u \in C^2(0, \pi) \cap C(\langle 0, \pi \rangle)$ , která splňuje diferenciální rovnici v úloze (1.1) pro každé  $x \in (0, \pi)$  a zároveň splňuje homogenní Dirichletovy okrajové podmínky úlohy (1.1). Nyní hledejme takové hodnoty parametru  $\lambda$ , pro které má úloha (1.1) netriviální řešení.

**Lemma 1.1.** *Úloha (1.1) má netriviální řešení pouze pro  $\lambda = \lambda_l$ , kde  $\lambda_l := l^2$ ,  $l \in \mathbb{N}$  a jím odpovídající řešení jsou ve tvaru  $u_l(x) = c \sin \sqrt{\lambda_l} x$ ,  $c \in \mathbb{R} \setminus \{0\}$ .*

*Důkaz.* Řešení diferenciální rovnice v úloze (1.1) hledáme ve tvaru  $u(x) = e^{px}$ ,  $p \in \mathbb{C}$ . Tento předpokládaný tvar řešení dosadíme do diferenciální rovnice v úloze (1.1) a dostáváme

$$\begin{aligned} (e^{px})'' + \lambda (e^{px}) &= 0, \\ p^2 e^{px} + \lambda e^{px} &= 0, \\ (p^2 + \lambda) e^{px} &= 0. \end{aligned} \quad (1.2)$$

Rovnici (1.2) můžeme splnit jenom tehdy, pokud

$$p^2 + \lambda = 0. \quad (1.3)$$

Nyní budeme postupně hledat kořeny rovnice (1.3) pro jednotlivé případy, kdy  $\lambda > 0$ ,  $\lambda < 0$  a  $\lambda = 0$ . (Rovnice (1.3) se nazývá charakteristická rovnice lineární diferenciální rovnice v úloze (1.1).)

1. Pro  $\lambda > 0$  má rovnice (1.3) komplexně sdružené kořeny ve tvaru  $p_1 = i\sqrt{\lambda}$  a  $p_2 = -i\sqrt{\lambda}$ . Lineárně nezávislá řešení diferenciální rovnice v úloze (1.1) jsou tedy funkce  $\cos \sqrt{\lambda} x$  a  $\sin \sqrt{\lambda} x$  (viz [8], 10.17. Lemma, str. 98), které tvoří fundamentální systém. Protože obecné řešení diferenciální rovnice je tvořeno lineární kombinací prvků fundamentálního systému, má obecné řešení diferenciální rovnice v úloze (1.1) tvar

$$u(x) = c_1 \cos \sqrt{\lambda} x + c_2 \sin \sqrt{\lambda} x, \quad c_1, c_2 \in \mathbb{R}. \quad (1.4)$$

Připomeňme si, že okrajové podmínky úlohy (1.1) jsou ve tvaru

$$u(0) = 0, \quad (1.5)$$

$$u(\pi) = 0. \quad (1.6)$$

Dosadíme-li obecné řešení (1.4) do podmínek (1.5) a (1.6), dostaneme soustavu dvou rovnic

$$c_1 \cdot 1 + c_2 \cdot 0 = 0, \quad (1.7)$$

$$c_1 \cos(\sqrt{\lambda}\pi) + c_2 \sin(\sqrt{\lambda}\pi) = 0. \quad (1.8)$$

Z rovnice (1.7) vyplývá, že konstanta  $c_1 = 0$ . Dosadíme-li konstantu  $c_1$  do rovnice (1.8), dostaneme  $c_2 \sin(\sqrt{\lambda}\pi) = 0$ . Protože hledáme netriviální řešení úlohy (1.1), požadujeme, aby konstanta  $c_2 \neq 0$ . Proto

$$\begin{aligned} \sin \sqrt{\lambda}\pi &= 0, \\ \sqrt{\lambda}\pi &= l\pi, \quad l \in \mathbb{N}, \\ \lambda &= l^2. \end{aligned}$$

Pro hodnoty  $\lambda = \lambda_l = l^2$  má úloha (1.1) netriviální řešení

$$u_l(x) = c_2 \sin lx, \quad c_2 \neq 0.$$

2. Pro  $\lambda < 0$  dostáváme kořeny rovnice (1.3) ve tvaru  $p_1 = \sqrt{-\lambda}$  a  $p_2 = -\sqrt{-\lambda}$ . Fundamentální systém je tedy tvořen funkcemi  $e^{\sqrt{-\lambda}x}$  a  $e^{-\sqrt{-\lambda}x}$  (viz [8], 10.12. Lemma, str. 96) a obecné řešení diferenciální rovnice v úloze (1.1) má tvar

$$u(x) = c_1 e^{\sqrt{-\lambda}x} + c_2 e^{-\sqrt{-\lambda}x}, \quad c_1, c_2 \in \mathbb{R}. \quad (1.9)$$

Dosadíme-li obecné řešení (1.9) do podmínek (1.5) a (1.6), dostaneme soustavu dvou rovnic

$$c_1 \cdot 1 + c_2 \cdot 1 = 0, \quad (1.10)$$

$$c_1 e^{\sqrt{-\lambda}\pi} + c_2 e^{-\sqrt{-\lambda}\pi} = 0. \quad (1.11)$$

Z rovnice (1.10) si vyjádříme konstantu  $c_2$ :

$$c_2 = -c_1. \quad (1.12)$$

Dosadíme ji do rovnice (1.11) a dostaneme

$$c_1 \left( e^{\sqrt{-\lambda}\pi} - e^{-\sqrt{-\lambda}\pi} \right) = 0. \quad (1.13)$$

Funkce hyperbolický sinus je definována jako

$$\sinh x := \frac{e^x - e^{-x}}{2}, \quad x \in \mathbb{R}. \quad (1.14)$$

Pomocí definice (1.14) dostaneme rovnici (1.13) ve tvaru

$$2c_1 \sinh(\sqrt{-\lambda}\pi) = 0. \quad (1.15)$$

Rovnici (1.15) můžeme splnit jenom tehdy, pokud konstanta  $c_1 = 0$ . Ze vztahu (1.12) potom vyplývá, že i konstanta  $c_2 = 0$ . A tak pro záporné hodnoty parametru  $\lambda$  má úloha (1.1) pouze triviální řešení  $u(x) \equiv 0$ .

3. Pro  $\lambda = 0$  dostáváme diferenciální rovnici v úloze (1.1) ve tvaru

$$u''(x) = 0.$$

Přímou integrací získáme její obecné řešení

$$u(x) = c_1 x + c_2, \quad c_1, c_2 \in \mathbb{R}. \quad (1.16)$$



Dosadíme-li obecné řešení (1.16) do podmínek (1.5) a (1.6), dostaneme soustavu dvou rovnic

$$c_1 \cdot 0 + c_2 = 0, \quad (1.17)$$

$$c_1 \cdot \pi + c_2 = 0. \quad (1.18)$$

Z rovnice (1.17) vyplývá, že konstanta  $c_2 = 0$ . Rovnice (1.18) bude tedy ve tvaru  $c_1 = 0$ . A tak pro nulovou hodnotu parametru  $\lambda$  má úloha (1.1) pouze triviální řešení  $u(x) \equiv 0$ . ■

Čísla  $\lambda \in \mathbb{R}$ , pro která má úloha (1.1) netriviální řešení, budeme nazývat vlastní čísla úlohy (1.1). A jim odpovídající netriviální řešení budeme nazývat vlastní funkce úlohy (1.1). Pro úlohu (1.1) máme celou posloupnost vlastních čísel

$$(\lambda_l) = (l^2) = (1, 4, 9, 16, \dots).$$

Posloupnost vlastních funkcí úlohy (1.1) příslušející vlastním číslům  $\lambda_l$  je potom dána ve tvaru

$$(v_l(x)) = (\sin lx) = (\sin x, \sin 2x, \sin 3x, \sin 4x, \dots).$$

Diferenciální rovnice v úloze (1.1) je autonomní, tzn. nevystupuje v ní nikde nezávisle proměnná  $x$  explicitně. Je-li tedy funkce  $u = u(x)$ , definovaná pro  $x \in (0, \pi)$ , netriviálním řešením diferenciální rovnice v úloze (1.1) na intervalu  $(0, \pi)$ , potom funkce  $y(x) = u(x - r)$ ,  $r \in \mathbb{R}$ , definovaná pro  $x \in (r, \pi + r)$ , je netriviálním řešením diferenciální rovnice v úloze (1.1) na intervalu  $(r, \pi + r)$ . A funkce  $z(x) = u(s \cdot x)$ ,  $s \in \mathbb{R}^+$ , definovaná pro  $x \in (0, \frac{\pi}{s})$ , je netriviálním řešením diferenciální rovnice v úloze (1.1) na intervalu  $(0, \frac{\pi}{s})$ . Ukažme si to v důkazu následujícího lemmatu.

Uvažujme lineární Dirichletovu okrajovou úlohu

$$\begin{cases} u''(x) + \lambda u(x) = 0, & x \in (a, b), \\ u(a) = u(b) = 0, \end{cases} \quad (1.19)$$

kde  $\lambda \in \mathbb{R}$  je parametr,  $a, b \in \mathbb{R}$  a  $a < b$ .

**Lemma 1.2.** *Vlastní čísla úlohy (1.19) jsou ve tvaru*

$$\lambda_l = \left( \frac{l\pi}{b-a} \right)^2, \quad l \in \mathbb{N}$$

*a jim odpovídající vlastní funkce jsou dány vztahem  $u_l(x) = c \sin \sqrt{\lambda_l}(x - a)$ ,  $c \in \mathbb{R} \setminus \{0\}$ .*

*Důkaz.* Okrajová úloha

$$\begin{cases} y''(t) + \tilde{\lambda} y(t) = 0, & t \in (0, \pi), \\ y(0) = y(\pi) = 0, \end{cases} \quad (1.20)$$

s parametrem  $\tilde{\lambda} \in \mathbb{R}$  odpovídá úloze (1.1), jen jsme použili jiné značení pro funkci  $u$ , proměnnou  $x$  a parametr  $\lambda$ . Z lemmatu 1.1 víme, že vlastní čísla úlohy (1.20) jsou ve tvaru

$$\tilde{\lambda}_l = l^2, \quad l \in \mathbb{N} \quad (1.21)$$

a jim odpovídající vlastní funkce jsou dány vztahem

$$y_l(t) = c \sin \sqrt{\tilde{\lambda}_l} t, \quad c \in \mathbb{R} \setminus \{0\}. \quad (1.22)$$

Nyní úlohu (1.20) transformujeme na úlohu (1.19) a pomocí této transformace určíme vlastní čísla a vlastní funkce úlohy (1.19). Budeme používat vztah pro transformaci funkce  $y$

$$y(t) = u \left( \frac{b-a}{\pi} \cdot t + a \right), \quad (1.23)$$

vztah pro transformaci nezávislé proměnné  $t$

$$t = \frac{\pi}{b-a} (x-a) \quad (1.24)$$

a vztah pro transformaci parametru  $\tilde{\lambda}$

$$\tilde{\lambda} = \lambda \cdot \left( \frac{b-a}{\pi} \right)^2. \quad (1.25)$$

Do diferenciální rovnice v úloze (1.20) dosadíme za  $y$  z transformačního vztahu (1.23), čímž dostaneme

$$u'' \left( \frac{b-a}{\pi} \cdot t + a \right) \cdot \left( \frac{b-a}{\pi} \right)^2 + \tilde{\lambda} \cdot u \left( \frac{b-a}{\pi} \cdot t + a \right) = 0. \quad (1.26)$$

Po přenásobení rovnice (1.26) výrazem  $(\pi/(b-a))^2$  obdržíme

$$u'' \left( \frac{b-a}{\pi} \cdot t + a \right) + \tilde{\lambda} \cdot \left( \frac{\pi}{b-a} \right)^2 \cdot u \left( \frac{b-a}{\pi} \cdot t + a \right) = 0. \quad (1.27)$$

Nyní můžeme rovnici (1.27) přepsat do tvaru diferenciální rovnice v úloze (1.19):

$$u''(x) + \lambda \cdot u(x) = 0,$$

kde

$$x = \frac{b-a}{\pi} \cdot t + a \quad (1.28)$$

a

$$\lambda = \tilde{\lambda} \cdot \left( \frac{\pi}{b-a} \right)^2. \quad (1.29)$$

Dosadíme-li do rovnice (1.29) za  $\tilde{\lambda}$  vlastní čísla  $\tilde{\lambda}_l = l^2$  úlohy (1.20), získáme vlastní čísla úlohy (1.19)

$$\lambda_l = \left( \frac{l\pi}{b-a} \right)^2.$$

Dosadíme-li do vztahu (1.22) za  $y$  z transformačního vztahu (1.23) a za  $\tilde{\lambda}$  z transformačního vztahu (1.25), potom dostaneme

$$\begin{aligned} u_l \left( \frac{b-a}{\pi} \cdot t + a \right) &= c \sin \left( \sqrt{\lambda_l \cdot \left( \frac{b-a}{\pi} \right)^2} \cdot t \right), \\ u_l \left( \frac{b-a}{\pi} \cdot t + a \right) &= c \sin \left( \sqrt{\lambda_l} \cdot \frac{b-a}{\pi} \cdot t \right). \end{aligned} \quad (1.30)$$

Pomocí vztahu (1.28) můžeme vztah (1.30) napsat ve tvaru

$$u_l(x) = c \sin \left( \sqrt{\lambda_l} (x-a) \right). \quad (1.31)$$

Vztah (1.31) představuje předpis pro vlastní funkce úlohy (1.19). ■

## Kapitola 2

# Po částech lineární úloha s Dirichletovými okrajovými podmínkami

V této kapitole uvažujeme úlohu ve tvaru

$$\begin{cases} u''(x) + \alpha u^+(x) - \beta u^-(x) = 0, & x \in (0, \pi), \\ u(0) = u(\pi) = 0, \end{cases} \quad (2.1)$$

kde  $u^+(x) := \max\{u(x), 0\}$  a  $u^-(x) := \max\{-u(x), 0\}$ . Řešením úlohy (2.1) budeme rozumět takovou funkci  $u \in C^2(0, \pi) \cap C([0, \pi])$ , která splňuje diferenciální rovnici v úloze (2.1) pro každé  $x \in (0, \pi)$  a zároveň splňuje homogenní Dirichletovy okrajové podmínky úlohy (2.1). Nyní budeme hledat všechny dvojice  $(\alpha, \beta) \in \mathbb{R}^2$  takové, pro které má úloha (2.1) netriviální řešení.

**Definice 2.1.** Fučíkovo spektrum pro úlohu (2.1) je množina

$$\Sigma := \{(\alpha, \beta) \in \mathbb{R}^2 : \text{úloha (2.1) má netriviální řešení}\}.$$

Podmnožiny Fučíkova spektra pro úlohu (2.1) definujeme následujícím způsobem:

$$P_m^+ := \{(\alpha, \beta) \in \Sigma : \text{netriviální řešení } u \text{ úlohy (2.1) má právě } m \text{ nulových bodů na intervalu } (0, \pi) \text{ a } u'(0) > 0\},$$

$$P_m^- := \{(\alpha, \beta) \in \Sigma : \text{netriviální řešení } u \text{ úlohy (2.1) má právě } m \text{ nulových bodů na intervalu } (0, \pi) \text{ a } u'(0) < 0\},$$

kde  $m \in \mathbb{N} \cup \{0\}$ . Množiny  $P_m^+$  a  $P_m^-$  budeme nazývat Fučíkovými větvemi.

**Definice 2.2.** Necht' funkce  $u$  je netriviálním řešením úlohy (2.1). Potom funkci  $u$  nad intervalem  $(x_1, x_2)$ , kde  $x_1, x_2$  jsou po sobě jdoucí nulové body funkce  $u$ , budeme nazývat půlvlnou. Pokud funkce  $u$  nabývá nad intervalem  $(x_1, x_2)$  kladných hodnot, potom funkci  $u$  nad tímto intervalem budeme nazývat kladnou půlvlnou. Pokud naopak funkce  $u$  nabývá nad intervalem  $(x_1, x_2)$  záporných hodnot, budeme funkci  $u$  nad tímto intervalem nazývat zápornou půlvlnou.

**Lemma 2.1.** Fučíkovo spektrum pro úlohu (2.1) je dáno jako

$$\Sigma = \bigcup_{m=0}^{+\infty} P_m, \text{ kde } P_m := P_m^+ \cup P_m^-.$$

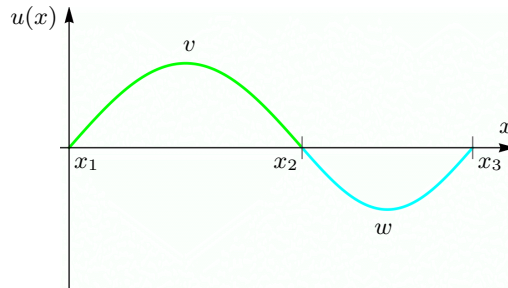
Jednotlivé Fučikovy větve  $P_m^\pm$  mají tvar:

$$\begin{aligned} P_0^+ &= \{(1, \beta) : \beta \in \mathbb{R}\}, \\ P_0^- &= \{(\alpha, 1) : \alpha \in \mathbb{R}\}, \\ P_{2n-1}^+ &= P_{2n-1}^- = \left\{ (\alpha, \beta) \in \mathbb{R}^+ \times \mathbb{R}^+ : \frac{n}{\sqrt{\alpha}} + \frac{n}{\sqrt{\beta}} = 1 \right\}, \\ P_{2n}^+ &= \left\{ (\alpha, \beta) \in \mathbb{R}^+ \times \mathbb{R}^+ : \frac{n+1}{\sqrt{\alpha}} + \frac{n}{\sqrt{\beta}} = 1 \right\}, \\ P_{2n}^- &= \left\{ (\alpha, \beta) \in \mathbb{R}^+ \times \mathbb{R}^+ : \frac{n}{\sqrt{\alpha}} + \frac{n+1}{\sqrt{\beta}} = 1 \right\}, \end{aligned}$$

kde  $n \in \mathbb{N}$ .

*Důkaz.* Pro  $\alpha = \beta = \lambda$ ,  $\lambda \in \mathbb{R}$ , přechází úloha (2.1) v úlohu (1.1). Vlastní čísla úlohy (1.1) potom určují body  $(\lambda_l, \lambda_l) \in \Sigma$ ,  $l \in \mathbb{N}$ .

Diferenciální rovnice v úloze (2.1) je autonomní. Je-li tedy funkce  $u = u(x)$ , definovaná pro  $x \in (0, \pi)$ , netriviálním řešením diferenciální rovnice v úloze (2.1) na intervalu  $(0, \pi)$ , potom funkce  $y(x) = u(x - r)$ ,  $r \in \mathbb{R}$ , definovaná pro  $x \in (r, \pi + r)$ , je netriviálním řešením diferenciální rovnice v úloze (2.1) na intervalu  $(r, \pi + r)$ . Pokud  $u$  je nad intervalem  $(a, b)$  kladnou (zápornou) půlvlnou, potom  $u$  je řešením Dirichletovy okrajové úlohy (1.19) na intervalu  $(a, b)$  s hodnotou parametru  $\lambda = \alpha$  ( $\lambda = \beta$ ).



Obrázek 2.1: Kladná a záporná půlvlna netriviálního řešení úlohy (2.1).

Předpokládejme, že  $x_1, x_2, x_3 \in (0, \pi)$  jsou tři po sobě jdoucí nulové body netriviálního řešení  $u$  úlohy (2.1). Dále necht'  $u$  je kladnou půlvlnou nad intervalem  $(x_1, x_2)$ , potom platí

$$u^-(x) = 0, \quad u^+(x) = u(x), \quad x \in (x_1, x_2).$$

Řešíme tedy úlohu ve tvaru

$$\begin{cases} v''(x) + \alpha v(x) = 0, & x \in (x_1, x_2), \\ v(x_1) = v(x_2) = 0, \end{cases} \quad (2.2)$$

kde  $\alpha \in \mathbb{R}$  je parametr a požadujeme, aby  $v(x) > 0$  pro  $x \in (x_1, x_2)$ . Úloha (2.2) odpovídá úloze (1.19). Z lematu 1.2 víme, že kladná půlvlna je ve tvaru

$$v(x) = A \sin \sqrt{\alpha}(x - x_1), \quad A > 0, \quad (2.3)$$

kde

$$\alpha = \left( \frac{\pi}{x_2 - x_1} \right)^2 \quad (2.4)$$

je prvním vlastním číslem úlohy (2.2).

Dále nechť  $u$  je zápornou půlvlnou nad intervalem  $(x_2, x_3)$ , potom platí

$$u^+(x) = 0, \quad -u^-(x) = u(x), \quad x \in (x_2, x_3).$$

Řešíme tedy úlohu ve tvaru

$$\begin{cases} w''(x) + \beta w(x) = 0, & x \in (x_2, x_3), \\ w(x_2) = w(x_3) = 0, \end{cases} \quad (2.5)$$

kde  $\beta \in \mathbb{R}$  je parametr a požadujeme, aby  $w(x) < 0$  pro  $x \in (x_2, x_3)$ . Úloha (2.5) opět odpovídá úloze (1.19). Z lemmatu 1.2 víme, že záporná půlvlna je ve tvaru

$$w(x) = B \sin \sqrt{\beta}(x - x_2), \quad B < 0, \quad (2.6)$$

kde

$$\beta = \left( \frac{\pi}{x_3 - x_2} \right)^2 \quad (2.7)$$

je prvním vlastním číslem úlohy (2.5). Ilustraci kladné a záporné půlvlny netriviálního řešení úlohy (2.1) uvádíme na obrázku 2.1.

Pouze netriviální řešení odpovídající první dvojici Fučíkových větví  $P_0^\pm$  znaménko nemění na intervalu  $(0, \pi)$  – tvoří ho pouze kladná (záporná) půlvlna. Netriviální řešení odpovídající ostatním Fučíkovým větvím znaménko na intervalu  $(0, \pi)$  již mění, skládají se z kladných a záporných půvln. Bodem napojení kladné půlvlny  $v$  a záporné půlvlny  $w$  je bod  $x_2$ . Z okrajových podmínek úlohy (2.2) a úlohy (2.5) víme, že platí  $v(x_2) = w(x_2) = 0$ . Funkce  $v$  a  $w$  ale obecně nemají v bodě  $x_2$  stejné derivace. My však požadujeme rovnost prvních i druhých derivací v bodě  $x_2$ , abychom dostali hladké řešení. Je tedy nutné, aby platilo

$$v'(x_2) = w'(x_2) \quad (2.8)$$

a

$$v''(x_2) = w''(x_2). \quad (2.9)$$

Dosadíme-li do vztahu (2.8) za  $v$  ze vztahu (2.3) a za  $w$  ze vztahu (2.6), dostaneme

$$A\sqrt{\alpha} \cdot \cos \sqrt{\alpha}(x_2 - x_1) = B\sqrt{\beta}. \quad (2.10)$$

Po dosazení do vztahu (2.10) za  $\alpha$  ze vztahu (2.4) a za  $\beta$  ze vztahu (2.7) obdržíme

$$\begin{aligned} A \frac{\pi}{x_2 - x_1} \cdot \cos \frac{\pi}{x_2 - x_1} (x_2 - x_1) &= B \frac{\pi}{x_3 - x_2}, \\ A \frac{\pi}{x_2 - x_1} \cdot (-1) &= B \frac{\pi}{x_3 - x_2}, \\ -\frac{A}{x_2 - x_1} &= \frac{B}{x_3 - x_2}. \end{aligned} \quad (2.11)$$

Pokud si nyní zvolíme konkrétní hodnotu konstanty  $A$ , vztah (2.11) nám jednoznačně určí hodnotu konstanty  $B$ . Na příklad pro  $A = 1$ , bude

$$B = -\frac{x_3 - x_2}{x_2 - x_1}.$$

Nyní se přesvědčme, zda vztah (2.9) platí. Pokud do něj dosadíme za  $v$  ze vztahu (2.3) a za  $w$  ze vztahu (2.6), dostaneme

$$-A\alpha \sin \sqrt{\alpha}(x_2 - x_1) = 0. \quad (2.12)$$

Dosadíme-li nyní do rovnice (2.12) za  $\alpha$  ze vztahu (2.4), vidíme, že vztah (2.9) platí.

Ze vztahu (2.4) můžeme určit vzdálenost mezi krajními nulovými body kladné půlvlny

$$x_2 - x_1 = \frac{\pi}{\sqrt{\alpha}}.$$

Podobně ze vztahu (2.7) můžeme určit vzdálenost mezi krajními nulovými body záporné půlvlny

$$x_3 - x_2 = \frac{\pi}{\sqrt{\beta}}.$$

Konkrétní předpisy Fučkových větví  $P_m^\pm$  pak dostaneme podle počtu kladných a záporných půvln, pomocí kterých sestavíme netriviální řešení  $u$ . Pro  $n$  kladných a  $n$  záporných půvln dostáváme předpis

$$\frac{n\pi}{\sqrt{\alpha}} + \frac{n\pi}{\sqrt{\beta}} = \pi, \quad n \in \mathbb{N},$$

pro  $(n+1)$  kladných a  $n$  záporných půvln dostáváme předpis

$$\frac{(n+1)\pi}{\sqrt{\alpha}} + \frac{n\pi}{\sqrt{\beta}} = \pi, \quad n \in \mathbb{N}_0$$

a pro  $n$  kladných a  $(n+1)$  záporných půvln dostáváme předpis

$$\frac{n\pi}{\sqrt{\alpha}} + \frac{(n+1)\pi}{\sqrt{\beta}} = \pi, \quad n \in \mathbb{N}_0.$$

■

Na níže uvedeném obrázku 2.2 je znázorněna struktura Fučkovy spektra pro úlohu (2.1). Na tomto obrázku na Fučkově větví  $P_1^+$  je vyznačen bod  $M$ , kterému odpovídá netriviální řešení  $u$ , jehož průběh vidíme na obrázku 2.3. Na Fučkově větví  $P_2^+$  je vyznačen bod  $N$ , kterému odpovídá netriviální řešení  $u$ , jehož průběh vidíme na obrázku 2.4.

Na závěr této kapitoly si uvedeme lemma, které říká, že Fučkovy větve  $P_m^\pm$  jsou symetrické podle diagonály  $\alpha = \beta$ .

**Lemma 2.2.** *Jestliže  $(\alpha, \beta) \in \Sigma$ , potom také  $(\beta, \alpha) \in \Sigma$ .*

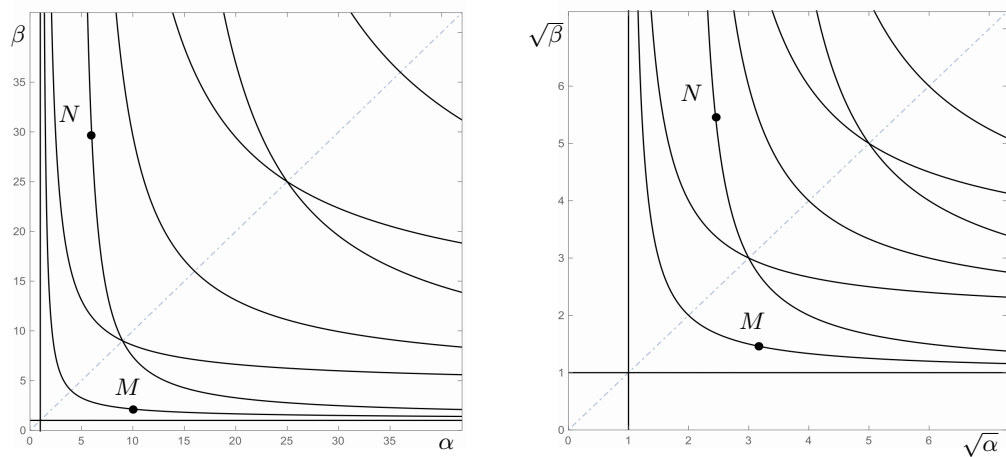
*Důkaz.* Necht'  $(\alpha, \beta) \in \Sigma$ . Potom dvojici  $(\alpha, \beta)$  přísluší funkce  $u$ , která je netriviálním řešením úlohy (2.1). Označme  $\hat{u} := -u$ . Potom platí  $\hat{u}^+ = u^-$  a  $\hat{u}^- = u^+$ . Diferenciální rovnici v úloze (2.1) můžeme tedy zapsat ve tvaru

$$-\hat{u}'' + \alpha\hat{u}^- - \beta\hat{u}^+ = 0. \tag{2.13}$$

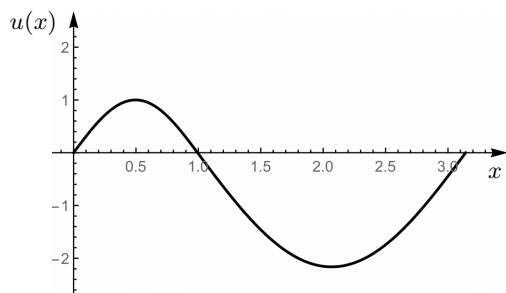
Vynásobením obou stran rovnice (2.13) číslem  $(-1)$  dostaneme

$$\hat{u}'' + \beta\hat{u}^+ - \alpha\hat{u}^- = 0,$$

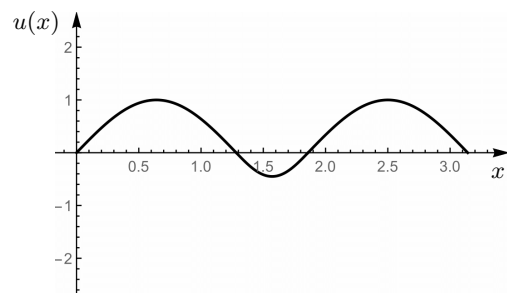
z čehož plyne, že  $(\beta, \alpha) \in \Sigma$ , neboť  $\hat{u}$  je řešením diferenciální rovnice v úloze (2.1) a zároveň splňuje i homogenní Dirichletovy okrajové podmínky úlohy (2.1). ■



Obrázek 2.2: Fučíkovo spektrum  $\Sigma$  pro úlohu (2.1).



Obrázek 2.3: Netriviální řešení  $u$  úlohy (2.1), které odpovídá bodu  $M$  (viz obrázek 2.2).



Obrázek 2.4: Netriviální řešení  $u$  úlohy (2.1), které odpovídá bodu  $N$  (viz obrázek 2.2).

## Kapitola 3

# Po částech lineární úloha s nelokální okrajovou podmínkou

Uvažujme úlohu ve tvaru

$$\begin{cases} u''(x) + \alpha u^+(x) - \beta u^-(x) = 0, & x \in (0, \pi), \\ u(0) = 0, \int_0^\pi u(x) dx = 0, \end{cases} \quad (3.1)$$

kde  $u^+(x) := \max\{u(x), 0\}$  a  $u^-(x) := \max\{-u(x), 0\}$ . Řešením úlohy (3.1) budeme rozumět takovou funkci  $u \in C^2(0, \pi) \cap C([0, \pi])$ , která splňuje diferenciální rovnici v úloze (3.1) pro každé  $x \in (0, \pi)$  a zároveň splňuje Dirichletovu okrajovou podmínku a integrální podmínku v úloze (3.1). Nyní budeme hledat všechny dvojice  $(\alpha, \beta) \in \mathbb{R}^2$  takové, pro které má úloha (3.1) netriviální řešení.

Úloha (3.1) byla již dříve předmětem zkoumání v článku [3], kde byl podán popis Fučíkova spektra pro úlohu (3.1) v prvním kvadrantu roviny  $\mathbb{R}^2$ . V této kapitole mimo jiné rozšíříme tento popis i na druhý a čtvrtý kvadrant.

**Poznámka 3.1.** (viz [9], str. 135) Mějme na intervalu  $\langle a, b \rangle \subset \mathbb{R}$  spojitou funkci  $y = f(x)$ . Když  $f(x) \geq 0$  na  $\langle a, b \rangle$ , potom integrál

$$S = \int_a^b f(x) dx$$

představuje obsah obrazce (tzv. křivočarého lichoběžníku) ohraničeného grafem funkce  $f$ , osou  $x$  a rovnoběžkami s osou  $y$  vedenými body  $a, b$ . Když  $f(x) \leq 0$  na  $\langle a, b \rangle$ , potom obsah příslušného křivočarého lichoběžníku je dán vzorcem

$$S = - \int_a^b f(x) dx.$$

Pokud tedy funkci  $u$  rozdělíme na kladnou a zápornou část, potom obsah plochy, kterou vymezuje kladná část, bude

$$S_1 = \int_0^\pi u^+(x) dx$$

a obsah plochy, kterou vymezuje záporná část, bude

$$S_2 = \int_0^\pi u^-(x) dx.$$



**Definice 3.1.** Fučikovo spektrum pro úlohu (3.1) je množina

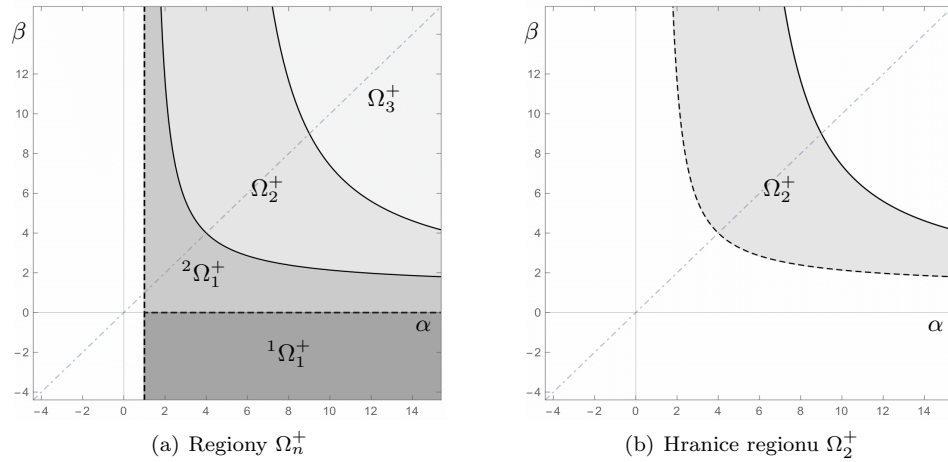
$$\Sigma := \{(\alpha, \beta) \in \mathbb{R}^2 : \text{úloha (3.1) má netriviální řešení}\}.$$

Podmnožiny Fučikova spektra pro úlohu (3.1) definujeme následujícím způsobem:

$$R_m^+ := \{(\alpha, \beta) \in \Sigma : \text{netriviální řešení } u \text{ úlohy (3.1) má právě } m \text{ nulových bodů na intervalu } (0, \pi) \text{ a } u'(0) > 0\},$$

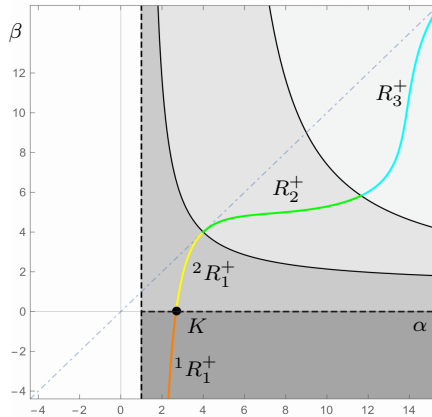
$$R_m^- := \{(\alpha, \beta) \in \Sigma : \text{netriviální řešení } u \text{ úlohy (3.1) má právě } m \text{ nulových bodů na intervalu } (0, \pi) \text{ a } u'(0) < 0\},$$

kde  $m \in \mathbb{N}$ . Množiny  $R_m^+$  a  $R_m^-$  budeme nazývat Fučikovými větvemi.



(a) Regiony  $\Omega_n^+$

(b) Hranice regionu  $\Omega_2^+$



(c) Větvě  $R_m^+$

Obrázek 3.1: Na obrázku 3.1(a) jsou různými odstíny šedé barvy vyznačeny regiony  ${}^1\Omega_1^+$ ,  ${}^2\Omega_1^+$ ,  $\Omega_2^+$  a  $\Omega_3^+$ . Jednotlivé regiony jsou odděleny větvemi  $P_m^+$  Fučikova spektra pro úlohu (2.1) (černé křivky). Protože se hranice jednotlivých regionů překrývají, je na obrázku 3.1(b) vyznačen pouze region  $\Omega_2^+$  s hranicí  $\partial\Omega_2^+$ . Na obrázku 3.1(c) je navíc větev Fučikova spektra pro úlohu (3.1), která se skládá z větve  ${}^1R_1^+ \subset {}^1\Omega_1^+$  (oranžová křivka), větve  ${}^2R_1^+ \subset {}^2\Omega_1^+$  (žlutá křivka), větve  $R_2^+ \subset \Omega_2^+$  (zelená křivka), větve  $R_3^+ \subset \Omega_3^+$  (azurová křivka) a bodu  $K$ .

Mezi Fučikovým spektrem pro úlohu (3.1) a Fučikovým spektrem pro úlohu (2.1) je určitá vazba. Ukážeme, že větve  $R_m^\pm$  Fučikova spektra pro úlohu (3.1) lze popsat na jednotlivých regionech, jejichž hranice jsou určeny větvemi  $P_m^\pm$  Fučikova spektra pro úlohu (2.1). Definujme si nyní množiny tvořící tyto regiony.

Region  $\Omega_1^+ := {}^1\Omega_1^+ \cup {}^2\Omega_1^+$ , kde

$${}^1\Omega_1^+ := \{(\alpha, \beta) \in \mathbb{R}^+ \times \mathbb{R}^- : \frac{1}{\sqrt{\alpha}} < 1\},$$

$${}^2\Omega_1^+ := \{(\alpha, \beta) \in \mathbb{R}^+ \times \mathbb{R}^+ : \frac{1}{\sqrt{\alpha}} < 1 \leq \frac{1}{\sqrt{\alpha}} + \frac{1}{\sqrt{\beta}}\}.$$

Ostatní regiony definujeme jako

$$\Omega_{2n}^+ := \{(\alpha, \beta) \in \mathbb{R}^+ \times \mathbb{R}^+ : \frac{n}{\sqrt{\alpha}} + \frac{n}{\sqrt{\beta}} < 1 \leq \frac{n+1}{\sqrt{\alpha}} + \frac{n}{\sqrt{\beta}}\},$$

$$\Omega_{2n+1}^+ := \{(\alpha, \beta) \in \mathbb{R}^+ \times \mathbb{R}^+ : \frac{n+1}{\sqrt{\alpha}} + \frac{n}{\sqrt{\beta}} < 1 \leq \frac{n+1}{\sqrt{\alpha}} + \frac{n+1}{\sqrt{\beta}}\},$$

$$\Omega_n^- := \{(\alpha, \beta) \in \mathbb{R}^2 : (\beta, \alpha) \in \Omega_n^+\},$$

kde  $n \in \mathbb{N}$ . Platí

$$\bigcup_{n=1}^{+\infty} \Omega_n^+ = \{(\alpha, \beta) \in \mathbb{R}^2 : \alpha > 1, \beta \neq 0\}, \quad \bigcup_{n=1}^{+\infty} \Omega_n^- = \{(\alpha, \beta) \in \mathbb{R}^2 : \beta > 1, \alpha \neq 0\}.$$

Na výše uvedeném obrázku 3.1 jsou znázorněny některé regiony  $\Omega_n^+$ .

**Lemma 3.1.** *Fučikovo spektrum pro úlohu (3.1) je dáno jako*

$$\Sigma = \bigcup_{m=1}^{+\infty} R_m, \quad \text{kde } R_m := R_m^+ \cup R_m^-.$$

*Fučikova větev  $R_1^+ = {}^1R_1^+ \cup K \cup {}^2R_1^+$ , kde  $K := \left(\left(\frac{\pi+2}{\pi}\right)^2, 0\right)$  je bod napojení větví  ${}^1R_1^+$  a  ${}^2R_1^+$ , přičemž*

$${}^1R_1^+ := \{(\alpha, \beta) \in {}^1\Omega_1^+ : \frac{2}{\sqrt{\alpha}} - \frac{\sqrt{\alpha}}{\beta} \left(1 - \cosh \left[\pi\sqrt{-\beta} \left(1 - \frac{1}{\sqrt{\alpha}}\right)\right]\right) = 0\},$$

$${}^2R_1^+ := \{(\alpha, \beta) \in {}^2\Omega_1^+ : \frac{2}{\sqrt{\alpha}} - \frac{\sqrt{\alpha}}{\beta} \left(1 - \cos \left[\pi\sqrt{\beta} \left(1 - \frac{1}{\sqrt{\alpha}}\right)\right]\right) = 0\}.$$

*Ostatní Fučikovy větve  $R_m^\pm$  mají tvar*

$$R_{2n}^+ = \{(\alpha, \beta) \in \Omega_{2n}^+ : \frac{2n}{\sqrt{\alpha}} - \frac{2n\sqrt{\alpha}}{\beta} + \frac{1}{\sqrt{\alpha}} \left(1 - \cos \left[\pi\sqrt{\alpha} \left(1 - \frac{n}{\sqrt{\alpha}} - \frac{n}{\sqrt{\beta}}\right)\right]\right) = 0\},$$

$$R_{2n+1}^+ = \{(\alpha, \beta) \in \Omega_{2n+1}^+ : \frac{2n+2}{\sqrt{\alpha}} - \frac{2n\sqrt{\alpha}}{\beta} - \frac{\sqrt{\alpha}}{\beta} \left(1 - \cos \left[\pi\sqrt{\beta} \left(1 - \frac{n+1}{\sqrt{\alpha}} - \frac{n}{\sqrt{\beta}}\right)\right]\right) = 0\},$$

*kde  $n \in \mathbb{N}$ .*

$$R_m^- = \{(\alpha, \beta) \in \Omega_m^- : (\beta, \alpha) \in R_m^+\},$$

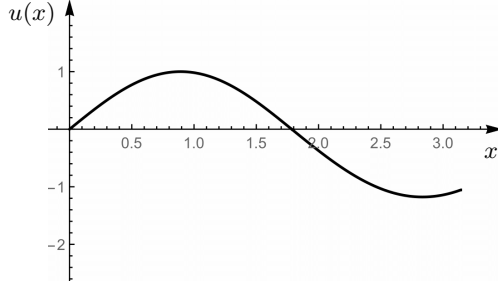
*kde  $m \in \mathbb{N}$ .*

*Důkaz.* Netriviální řešení  $u$  úlohy (3.1) musí splňovat Dirichletovu okrajovou podmínku  $u(0) = 0$ .

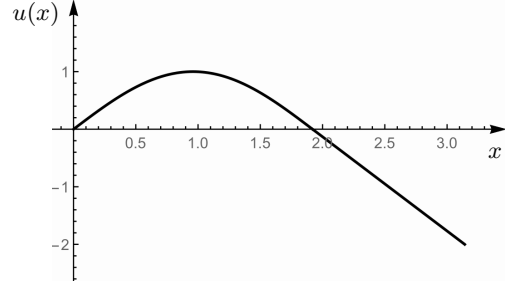
Navíc je potřeba, aby  $u$  splňovalo i podmínku, která je v integrálním tvaru

$$\int_0^{\pi} u(x) dx = 0. \quad (3.2)$$

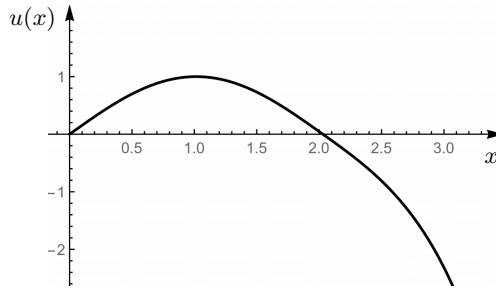
Z důkazu lemmatu 2.1 víme, že řešení  $u$  úlohy (3.1) budeme hledat po částech. Podívejme se, jak bude vypadat tvar řešení  $u$ , pro které platí  $u'(0) > 0$  a které má na intervalu  $(0, \pi)$  pouze jeden nulový bod  $x_0$ . Uvažujme tři případy, kdy  $\alpha > 0 \wedge \beta > 0$ ,  $\alpha > 0 \wedge \beta = 0$  a  $\alpha > 0 \wedge \beta < 0$ .



Obrázek 3.2: Netriviální řešení  $u$  vyhovující podmínce  $\alpha > 0 \wedge \beta > 0$ .



Obrázek 3.3: Netriviální řešení  $u$  vyhovující podmínce  $\alpha > 0 \wedge \beta = 0$ .



Obrázek 3.4: Netriviální řešení  $u$  vyhovující podmínce  $\alpha > 0 \wedge \beta < 0$ .

1. Předpokládejme, že  $\alpha > 0 \wedge \beta > 0$ . Protože  $u$  tvoří nad intervalem  $(0, x_0)$  kladnou půlvlnu, řešíme na tomto intervalu Dirichletovu okrajovou úlohu (2.2). Řešení této úlohy je ve tvaru (viz (2.3))

$$v(x) = A \sin \sqrt{\alpha} x, \quad A > 0. \quad (3.3)$$

Dále nechť  $u$  nabývá pouze záporných hodnot nad intervalem  $(x_0, \pi)$  a zároveň platí  $u(x_0) = 0$ . Budeme tedy řešit počáteční úlohu

$$\begin{cases} w''(x) + \beta w(x) = 0, & x \in (x_0, \pi), \\ w(x_0) = 0, \quad w'(x_0) < 0. \end{cases} \quad (3.4)$$

Všechna řešení úlohy (3.4) mají tvar

$$w(x) = B \sin \sqrt{\beta} (x - x_0), \quad B < 0.$$

Netriviální řešení vyhovující podmínce  $\alpha > 0 \wedge \beta > 0$  uvádíme na obrázku 3.2.

2. Předpokládejme, že  $\alpha > 0 \wedge \beta = 0$ . Na intervalu  $(0, x_0)$  je řešení  $u$  dáno vztahem (3.3) (viz bod 1). Opět předpokládejme, že nad intervalem  $(x_0, \pi)$  nabývá  $u$  pouze záporných hodnot. Na tomto intervalu tedy opět řešíme počáteční úlohu (3.4) pro  $\beta = 0$ . Všechna řešení této úlohy mají tvar

$$w(x) = B(x - x_0), \quad B < 0.$$

Netriviální řešení vyhovující podmínce  $\alpha > 0 \wedge \beta = 0$  uvádíme na obrázku 3.3.

3. Předpokládejme, že  $\alpha > 0 \wedge \beta < 0$ . Na intervalu  $(0, x_0)$  je řešení  $u$  dáno vztahem (3.3) (viz bod 1). Opět předpokládejme, že nad intervalem  $(x_0, \pi)$  nabývá  $u$  pouze záporných hodnot. Na tomto intervalu tedy opět řešíme počáteční úlohu (3.4) pro  $\beta < 0$ . Všechna řešení této úlohy mají tvar

$$w(x) = B \sinh\left(\sqrt{-\beta}(x - x_0)\right), \quad B < 0.$$

Netriviální řešení vyhovující podmínce  $\alpha > 0 \wedge \beta < 0$  uvádíme na obrázku 3.4.

Nyní si ukažme konstrukci Fučikovy větve  ${}^2R_1^+$ . Předpokládáme, že dvojice  $(\alpha, \beta) \in R_1^+$ ,  $\alpha > 0 \wedge \beta > 0$ . Tedy předpokládáme, že netriviální řešení  $u$  úlohy (3.1) má na intervalu  $(0, \pi)$  právě jeden nulový bod  $x_0$  a  $u'(0) > 0$ . Je zřejmé, že pokud má být splněna podmínka (3.2), bude platit

$$\int_0^{x_0} v(x) dx + \int_{x_0}^{\pi} w(x) dx = 0. \quad (3.5)$$

Na intervalu  $(0, x_0)$  je řešení  $u$  ve tvaru

$$v(x) = A \sin \sqrt{\alpha} x. \quad (3.6)$$

Do integrálu  $\int_0^{x_0} v(x) dx$  dosadíme za  $v$  ze vztahu (3.6) a dostaneme

$$\int_0^{x_0} A \sin \sqrt{\alpha} x dx = \left[ -\frac{A}{\sqrt{\alpha}} \cos \sqrt{\alpha} x \right]_0^{x_0} = \frac{A}{\sqrt{\alpha}} (1 - \cos \sqrt{\alpha} x_0).$$

Na intervalu  $(x_0, \pi)$  má řešení  $u$  tvar

$$w(x) = B \sin \sqrt{\beta}(x - x_0). \quad (3.7)$$

Do integrálu  $\int_{x_0}^{\pi} w(x) dx$  dosadíme za  $w$  ze vztahu (3.7) a dostaneme

$$\int_{x_0}^{\pi} B \sin \sqrt{\beta}(x - x_0) dx = \left[ -\frac{B}{\sqrt{\beta}} \cos \sqrt{\beta}(x - x_0) \right]_{x_0}^{\pi} = \frac{B}{\sqrt{\beta}} (1 - \cos \sqrt{\beta}(\pi - x_0)).$$

Vraťme se k rovnici (3.5) a dosadíme do ní výše vypočtené hodnoty jednotlivých integrálů. Dostaneme

$$\frac{A}{\sqrt{\alpha}} (1 - \cos \sqrt{\alpha} x_0) + \frac{B}{\sqrt{\beta}} (1 - \cos \sqrt{\beta}(\pi - x_0)) = 0. \quad (3.8)$$

Hodnotu konstanty  $A$  si můžeme zvolit. Zvolme si tedy, že  $A = 1$ . Protože ale požadujeme hladkost celého řešení, je potřeba konstantu  $B$  určit. A to tak, aby platil vztah

$$v'(x_0) = w'(x_0). \quad (3.9)$$

Dosadíme-li do rovnice (3.9) za  $v$  ze vztahu (3.6) s volbou  $A = 1$  a za  $w$  ze vztahu (3.7), dostáváme

$$\sqrt{\alpha} \cos \sqrt{\alpha} x_0 = B \sqrt{\beta} \quad (3.10)$$

Z důkazu lemmatu 2.1 víme, že vzdálenost mezi krajními nulovými body kladné půlvlny je

$$x_0 = \frac{\pi}{\sqrt{\alpha}}. \quad (3.11)$$

Dosadíme-li nyní do rovnice (3.10) za  $x_0$  ze vztahu (3.11), obdržíme

$$B = -\frac{\sqrt{\alpha}}{\sqrt{\beta}}. \quad (3.12)$$

Vrátíme-li se k rovnici (3.8) a dosadíme do ní  $A = 1$ , za  $B$  ze vztahu (3.12) a za  $x_0$  ze vztahu (3.11), dostaneme

$$\begin{aligned} \frac{1}{\sqrt{\alpha}} \left( 1 - \cos \left[ \sqrt{\alpha} \cdot \frac{\pi}{\sqrt{\alpha}} \right] \right) + \left( -\frac{\sqrt{\alpha}}{\sqrt{\beta}} \right) \cdot \left( \frac{1}{\sqrt{\beta}} \right) \cdot \left( 1 - \cos \sqrt{\beta} \left( \pi - \frac{\pi}{\sqrt{\alpha}} \right) \right) &= 0, \\ \frac{2}{\sqrt{\alpha}} - \frac{\sqrt{\alpha}}{\beta} \left( 1 - \cos \left[ \sqrt{\beta} \left( \pi - \frac{\pi}{\sqrt{\alpha}} \right) \right] \right) &= 0. \end{aligned} \quad (3.13)$$

Předpokládali jsme, že bod  $x_0$  je nulovým bodem řešení  $u$  na intervalu  $(0, \pi)$ . Pro bod  $x_0$  tedy platí

$$\begin{aligned} x_0 &< \pi, \\ \frac{\pi}{\sqrt{\alpha}} &< \pi. \end{aligned} \quad (3.14)$$

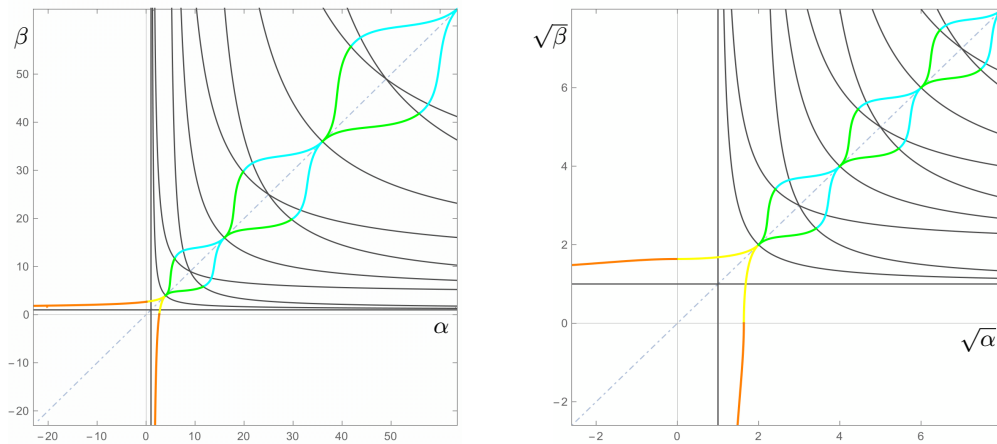
Podmínka (3.14) nám zajistí, že netriviální řešení  $u$  úlohy (3.1) má alespoň jeden nulový bod na intervalu  $(0, \pi)$ . My ale předpokládáme, že netriviální řešení  $u$  příslušející Fučíkově větvi  ${}^2R_1^+$  má právě jeden nulový bod na intervalu  $(0, \pi)$ . Je tedy potřeba, aby zároveň byla splněna podmínka

$$\frac{\pi}{\sqrt{\alpha}} + \frac{\pi}{\sqrt{\beta}} \geq \pi. \quad (3.15)$$

Z důkazu lemmatu 2.1 víme, že  $\frac{\pi}{\sqrt{\alpha}}$  odpovídá délce intervalu, nad kterým je kladná půlvlna. Dále víme, že  $\frac{\pi}{\sqrt{\beta}}$  odpovídá délce intervalu, nad kterým je záporná půlvlna. A nakonec  $\pi$  je délka intervalu, na kterém je definována úloha (3.1).

Vztah (3.13) společně s nerovnostmi (3.14) a (3.15) popisují větev  ${}^2R_1^+$ . Ostatní Fučíkovy větve bychom konstruovali analogicky. Podobně bychom hledali i souřadnice bodu napojení větví  ${}^1R_1^+$  a  ${}^2R_1^+$ . ■

Struktura Fučíkova spektra pro úlohu (3.1) je znázorněna na obrázku 3.5.



Obrázek 3.5: Fučíkovo spektrum  $\Sigma$  pro úlohu (3.1).

## Kapitola 4

# Po částech lineární úloha se zobecněnou nelokální okrajovou podmínkou

V této kapitole uvažujeme úlohu ve tvaru

$$\begin{cases} u''(x) + \alpha u^+(x) - \beta u^-(x) = 0, & x \in (0, \pi), \\ u(0) = 0, \int_p^\pi u(x) dx = 0, \end{cases} \quad (4.1)$$

kde  $u^+(x) := \max\{u(x), 0\}$ ,  $u^-(x) := \max\{-u(x), 0\}$  a  $p \in (0, \pi)$ ,  $\alpha, \beta \in \mathbb{R}$  jsou parametry. Řešením úlohy (4.1) budeme rozumět takovou funkci  $u \in C^2(0, \pi) \cap C(\langle 0, \pi \rangle)$ , která splňuje diferenciální rovnici v úloze (4.1) pro každé  $x \in (0, \pi)$  a zároveň splňuje Dirichletovu okrajovou podmínku a integrální podmínku v úloze (4.1). Pro volbu parametru  $p = 0$  je úloha (4.1) úlohou (3.1), která byla studována ve třetí kapitole.

**Definice 4.1.** Fučikovo spektrum pro úlohu (4.1) je množina

$$\Sigma := \{(\alpha, \beta) \in \mathbb{R}^2 : \text{úloha (4.1) má netriviální řešení}\}.$$

Podmnožiny Fučikova spektra pro úlohu (4.1) definujeme následovně:

$$S_m^+ := \{(\alpha, \beta) \in \Sigma : \text{netriviální řešení } u \text{ úlohy (4.1) má právě } m \text{ nulových bodů na intervalu } (0, \pi) \text{ a } u'(0) > 0\},$$

$$S_m^- := \{(\alpha, \beta) \in \Sigma : \text{netriviální řešení } u \text{ úlohy (4.1) má právě } m \text{ nulových bodů na intervalu } (0, \pi) \text{ a } u'(0) < 0\},$$

kde  $m \in \mathbb{N}$ . Množiny  $S_m^+$  a  $S_m^-$  budeme nazývat Fučikovými větvemi.

### 4.1 Popis Fučikova spektra pro $p = \frac{\pi}{2}$

Ukažme si konstrukci Fučikova spektra pro úlohu (4.1) pro hodnotu parametru  $p = \frac{\pi}{2}$ . Budeme tedy hledat všechny dvojice  $(\alpha, \beta) \in \mathbb{R}^2$  takové, pro které má úloha

$$\begin{cases} u''(x) + \alpha u^+(x) - \beta u^-(x) = 0, & x \in (0, \pi), \\ u(0) = 0, \int_{\frac{\pi}{2}}^\pi u(x) dx = 0, \end{cases} \quad (4.2)$$

netriviální řešení.

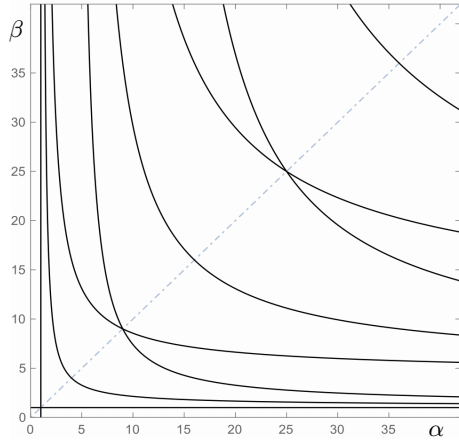
Mezi Fučíkovým spektrem pro úlohu (4.2) a Fučíkovými spektry pro úlohy

$$\begin{cases} u''(x) + \alpha u^+(x) - \beta u^-(x) = 0, & x \in (0, \pi), \\ u(0) = u(\pi) = 0, \end{cases} \quad (4.3)$$

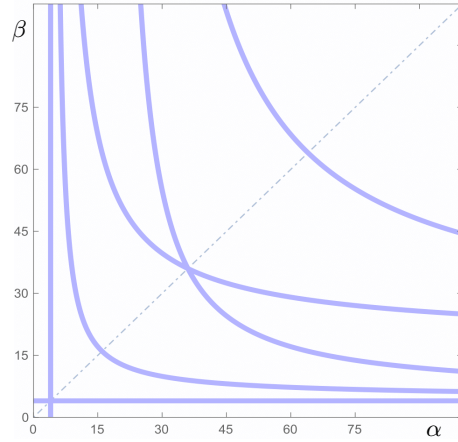
a

$$\begin{cases} u''(x) + \alpha u^+(x) - \beta u^-(x) = 0, & x \in (0, \frac{\pi}{2}), \\ u(0) = u(\frac{\pi}{2}) = 0, \end{cases} \quad (4.4)$$

je určitá vazba. (Úloha (4.3) je úlohou (2.1), která je studována ve druhé kapitole.) Ukážeme, že větve  $S_m^\pm$  Fučíkova spektra pro úlohu (4.2) lze popsat na jednotlivých regionech jejichž hranice jsou určeny větvemi  $P_m^\pm$  Fučíkova spektra pro úlohu (4.3) a větvemi  $T_m^\pm$  Fučíkova spektra pro úlohu (4.4). Předpisy pro jednotlivé větve Fučíkových spekter úloh (4.3) a (4.4) jsou uvedeny v následujících poznámkách.



Obrázek 4.1: Fučíkovo spektrum  $\Sigma$  pro úlohu (4.3).



Obrázek 4.2: Fučíkovo spektrum  $\Sigma$  pro úlohu (4.4).

**Poznámka 4.1.** Fučíkovo spektrum pro úlohu (4.3) je určeno sjednocením Fučíkových větví  $P_m^\pm$  ( $m \in \mathbb{N} \cup \{0\}$ ) následujícího tvaru:

$$\begin{aligned} P_0^+ &= \{(1, \beta) : \beta \in \mathbb{R}\}, \\ P_0^- &= \{(\alpha, 1) : \alpha \in \mathbb{R}\}, \\ P_{2n-1}^+ = P_{2n-1}^- &= \left\{ (\alpha, \beta) \in \mathbb{R}^+ \times \mathbb{R}^+ : \frac{n}{\sqrt{\alpha}} + \frac{n}{\sqrt{\beta}} = 1 \right\}, \\ P_{2n}^+ &= \left\{ (\alpha, \beta) \in \mathbb{R}^+ \times \mathbb{R}^+ : \frac{n+1}{\sqrt{\alpha}} + \frac{n}{\sqrt{\beta}} = 1 \right\}, \\ P_{2n}^- &= \left\{ (\alpha, \beta) \in \mathbb{R}^+ \times \mathbb{R}^+ : \frac{n}{\sqrt{\alpha}} + \frac{n+1}{\sqrt{\beta}} = 1 \right\}, \end{aligned}$$

kde  $n \in \mathbb{N}$ .

**Poznámka 4.2.** Fučíkovo spektrum pro úlohu (4.4) je určeno sjednocením Fučíkových větví  $T_m^\pm$

( $m \in \mathbb{N} \cup \{0\}$ ) následujícího tvaru:

$$\begin{aligned} T_0^+ &= \{(4, \beta) : \beta \in \mathbb{R}\}, \\ T_0^- &= \{(\alpha, 4) : \alpha \in \mathbb{R}\}, \\ T_{2n-1}^+ = T_{2n-1}^- &= \left\{ (\alpha, \beta) \in \mathbb{R}^+ \times \mathbb{R}^+ : \frac{n}{\sqrt{\alpha}} + \frac{n}{\sqrt{\beta}} = \frac{1}{2} \right\}, \\ T_{2n}^+ &= \left\{ (\alpha, \beta) \in \mathbb{R}^+ \times \mathbb{R}^+ : \frac{n+1}{\sqrt{\alpha}} + \frac{n}{\sqrt{\beta}} = \frac{1}{2} \right\}, \\ T_{2n}^- &= \left\{ (\alpha, \beta) \in \mathbb{R}^+ \times \mathbb{R}^+ : \frac{n}{\sqrt{\alpha}} + \frac{n+1}{\sqrt{\beta}} = \frac{1}{2} \right\}, \end{aligned}$$

kde  $n \in \mathbb{N}$ .

Struktura Fučikova spektra pro úlohu (4.3) je znázorněna na obrázku 4.1, struktura Fučikova spektra pro úlohu (4.4) je znázorněna na obrázku 4.2. Nyní si definujeme množiny tvořící regiony, na kterých získáme předpisy pro větve  $S_m^+$  Fučikova spektra pro úlohu (4.2).

Region  $\Omega_1^+ := {}^1\Omega_1^+ \cup {}^2\Omega_1^+$ , kde

$${}^1\Omega_1^+ := \left\{ (\alpha, \beta) \in \mathbb{R}^+ \times \mathbb{R}^- : \frac{1}{2} < \frac{1}{\sqrt{\alpha}} < 1 \right\},$$

$${}^2\Omega_1^+ := \left\{ (\alpha, \beta) \in \mathbb{R}^+ \times \mathbb{R}^+ : \frac{1}{2} < \frac{1}{\sqrt{\alpha}} < 1 \leq \frac{1}{\sqrt{\alpha}} + \frac{1}{\sqrt{\beta}} \right\}.$$

Regiony  $\Omega_{4n-2}^+ := {}^1\Omega_{4n-2}^+ \cup {}^2\Omega_{4n-2}^+$ , kde

$${}^1\Omega_{4n-2}^+ := \left\{ (\alpha, \beta) \in \mathbb{R}^+ \times \mathbb{R}^+ : \begin{aligned} \frac{2n-1}{\sqrt{\alpha}} + \frac{2n-1}{\sqrt{\beta}} &< 1 \leq \frac{2n}{\sqrt{\alpha}} + \frac{2n-1}{\sqrt{\beta}}, \\ \frac{n-1}{\sqrt{\alpha}} + \frac{n-1}{\sqrt{\beta}} &\leq \frac{1}{2} < \frac{n}{\sqrt{\alpha}} + \frac{n-1}{\sqrt{\beta}} \end{aligned} \right\},$$

$${}^2\Omega_{4n-2}^+ := \left\{ (\alpha, \beta) \in \mathbb{R}^+ \times \mathbb{R}^+ : \begin{aligned} \frac{2n-1}{\sqrt{\alpha}} + \frac{2n-1}{\sqrt{\beta}} &< 1 \leq \frac{2n}{\sqrt{\alpha}} + \frac{2n-1}{\sqrt{\beta}}, \\ \frac{n}{\sqrt{\alpha}} + \frac{n-1}{\sqrt{\beta}} &\leq \frac{1}{2} < \frac{n}{\sqrt{\alpha}} + \frac{n}{\sqrt{\beta}} \end{aligned} \right\},$$

kde  $n \in \mathbb{N}$ .

Ostatní regiony definujeme jako

$$\Omega_{4n-1}^+ := \left\{ (\alpha, \beta) \in \mathbb{R}^+ \times \mathbb{R}^+ : \begin{aligned} \frac{2n}{\sqrt{\alpha}} + \frac{2n-1}{\sqrt{\beta}} &< 1 \leq \frac{2n}{\sqrt{\alpha}} + \frac{2n}{\sqrt{\beta}}, \\ \frac{n}{\sqrt{\alpha}} + \frac{n-1}{\sqrt{\beta}} &< \frac{1}{2} \leq \frac{n}{\sqrt{\alpha}} + \frac{n}{\sqrt{\beta}} \end{aligned} \right\},$$

$$\Omega_{4n}^+ := \left\{ (\alpha, \beta) \in \mathbb{R}^+ \times \mathbb{R}^+ : \begin{aligned} \frac{2n}{\sqrt{\alpha}} + \frac{2n}{\sqrt{\beta}} &< 1 \leq \frac{2n+1}{\sqrt{\alpha}} + \frac{2n}{\sqrt{\beta}}, \\ \frac{n}{\sqrt{\alpha}} + \frac{n}{\sqrt{\beta}} &< \frac{1}{2} \leq \frac{n+1}{\sqrt{\alpha}} + \frac{n}{\sqrt{\beta}} \end{aligned} \right\},$$

$$\Omega_{4n+1}^+ := \left\{ (\alpha, \beta) \in \mathbb{R}^+ \times \mathbb{R}^+ : \begin{aligned} \frac{2n+1}{\sqrt{\alpha}} + \frac{2n}{\sqrt{\beta}} &< 1 \leq \frac{2n+1}{\sqrt{\alpha}} + \frac{2n+1}{\sqrt{\beta}}, \\ \frac{n}{\sqrt{\alpha}} + \frac{n}{\sqrt{\beta}} &< \frac{1}{2} \leq \frac{n+1}{\sqrt{\alpha}} + \frac{n}{\sqrt{\beta}} \end{aligned} \right\},$$

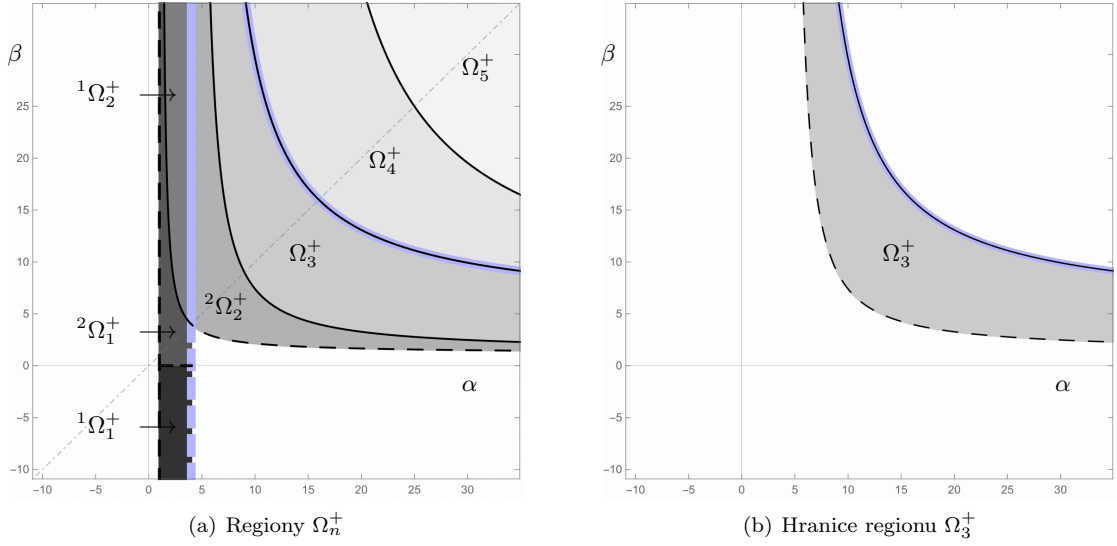
$$\Omega_n^- := \left\{ (\alpha, \beta) \in \mathbb{R}^2 : (\beta, \alpha) \in \Omega_n^+ \right\},$$

kde  $n \in \mathbb{N}$ . Sjednocením všech výše definovaných regionů dostaneme region, na kterém lze psát celé Fučikovo spektrum pro úlohu (4.2). Platí

$$\bigcup_{n=1}^{+\infty} \Omega_n^\pm = ((1; +\infty) \times (1; +\infty)) \cup \{(\alpha, \beta) \in \mathbb{R}^2 : 1 < \alpha < 4, \beta \neq 0\} \cup \{(\alpha, \beta) \in \mathbb{R}^2 : 1 < \beta < 4, \alpha \neq 0\}.$$

Na níže uvedeném obrázku 4.3 jsou znázorněny regiony  ${}^1\Omega_1^+$ ,  ${}^2\Omega_1^+$ ,  ${}^1\Omega_2^+$ ,  ${}^2\Omega_2^+$ ,  $\Omega_3^+$ ,  $\Omega_4^+$  a  $\Omega_5^+$ .





Obrázek 4.3: Na obrázku 4.3(a) jsou různými odstíny šedé barvy vyznačeny regiony  ${}^1\Omega_1^+$ ,  ${}^2\Omega_1^+$ ,  ${}^1\Omega_2^+$ ,  ${}^2\Omega_2^+$ ,  $\Omega_3^+$ ,  $\Omega_4^+$  a  $\Omega_5^+$ . Jednotlivé regiony jsou odděleny větvemi  $P_m^+$  Fučíkova spektra pro úlohu (4.3) (černé křivky) a větvemi  $T_m^+$  Fučíkova spektra pro úlohu (4.4) (světle modré křivky). Protože se hranice jednotlivých regionů překrývají, je na obrázku 4.3(b) vyznačen pouze region  $\Omega_3^+$  s hranicí  $\partial\Omega_3^+$ .

**Věta 4.1.** *Fučíkovo spektrum pro úlohu (4.2) je dáno jako*

$$\Sigma = \bigcup_{m=1}^{+\infty} S_m, \text{ kde } S_m := S_m^+ \cup S_m^-.$$

*Fučíkova větev  $S_1^+ = {}^1S_1^+ \cup M \cup {}^2S_1^+$ , kde  $M := (\tilde{\alpha}, 0)$  je bod napojení větví  ${}^1S_1^+$  a  ${}^2S_1^+$ ,*

*$\tilde{\alpha} > 1$  je řešení rovnice  $2 + 2 \cos \left[ \sqrt{\tilde{\alpha}} \cdot \frac{\pi}{2} \right] - \pi^2 (\sqrt{\tilde{\alpha}} - 1)^2 = 0$  a*

$${}^1S_1^+ := \left\{ (\alpha, \beta) \in {}^1\Omega_1^+ : \frac{1}{\sqrt{\alpha}} (1 + \cos \left[ \frac{\pi}{2} \sqrt{\alpha} \right]) - \frac{\sqrt{\alpha}}{\beta} \left( 1 - \cosh \left[ \pi \sqrt{-\beta} \left( 1 - \frac{1}{\sqrt{\alpha}} \right) \right] \right) = 0 \right\},$$

$${}^2S_1^+ := \left\{ (\alpha, \beta) \in {}^2\Omega_1^+ : \frac{1}{\sqrt{\alpha}} (1 + \cos \left[ \frac{\pi}{2} \sqrt{\alpha} \right]) - \frac{\sqrt{\alpha}}{\beta} \left( 1 - \cos \left[ \pi \sqrt{\beta} \left( 1 - \frac{1}{\sqrt{\alpha}} \right) \right] \right) = 0 \right\}.$$

*Fučíkovy větve  $S_{4n-2}^+ = {}^1S_{4n-2}^+ \cup {}^2S_{4n-2}^+$ , kde*

$${}^1S_{4n-2}^+ := \left\{ (\alpha, \beta) \in {}^1\Omega_{4n-2}^+ : \frac{2n}{\sqrt{\alpha}} - \frac{2n\sqrt{\alpha}}{\beta} + (-1)^{n+1} \cdot \frac{1}{\sqrt{\alpha}} \cos \left[ \pi \sqrt{\alpha} \left( \frac{1}{2} - \frac{n-1}{\sqrt{\beta}} \right) \right] + \frac{1}{\sqrt{\alpha}} \cos \left[ \pi \sqrt{\alpha} \left( 1 - \frac{2n-1}{\sqrt{\beta}} \right) \right] = 0 \right\},$$

$${}^2S_{4n-2}^+ := \left\{ (\alpha, \beta) \in {}^2\Omega_{4n-2}^+ : \frac{2n-1}{\sqrt{\alpha}} - \frac{(2n-1)\sqrt{\alpha}}{\beta} + (-1)^n \cdot \frac{\sqrt{\alpha}}{\beta} \cos \left[ \pi \sqrt{\beta} \left( \frac{1}{2} - \frac{n}{\sqrt{\alpha}} \right) \right] + \frac{1}{\sqrt{\alpha}} \cos \left[ \pi \sqrt{\alpha} \left( 1 - \frac{2n-1}{\sqrt{\beta}} \right) \right] = 0 \right\},$$

*kde  $n \in \mathbb{N}$ .*

*Ostatní Fučíkovy větve  $S_m^\pm$  mají tvar*

$$S_{4n-1}^+ = \left\{ (\alpha, \beta) \in \Omega_{4n-1}^+ : \frac{2n}{\sqrt{\alpha}} - \frac{2n\sqrt{\alpha}}{\beta} + (-1)^n \cdot \frac{\sqrt{\alpha}}{\beta} \cos \left[ \pi \sqrt{\beta} \left( \frac{1}{2} - \frac{n}{\sqrt{\alpha}} \right) \right] - \frac{\sqrt{\alpha}}{\beta} \cos \left[ \pi \sqrt{\beta} \left( 1 - \frac{2n}{\sqrt{\alpha}} \right) \right] = 0 \right\},$$

$$S_{4n}^+ = \left\{ (\alpha, \beta) \in \Omega_{4n}^+ : \begin{aligned} & \frac{2n}{\sqrt{\alpha}} - \frac{2n\sqrt{\alpha}}{\beta} + (-1)^n \cdot \frac{1}{\sqrt{\alpha}} \cos \left[ \pi\sqrt{\alpha} \left( \frac{1}{2} - \frac{n}{\sqrt{\beta}} \right) \right] \\ & - \frac{1}{\sqrt{\alpha}} \cos \left[ \pi\sqrt{\alpha} \left( 1 - \frac{2n}{\sqrt{\beta}} \right) \right] = 0 \end{aligned} \right\},$$

$$S_{4n+1}^+ = \left\{ (\alpha, \beta) \in \Omega_{4n+1}^+ : \begin{aligned} & \frac{2n+1}{\sqrt{\alpha}} - \frac{(2n+1)\sqrt{\alpha}}{\beta} + (-1)^n \cdot \frac{1}{\sqrt{\alpha}} \cos \left[ \pi\sqrt{\alpha} \left( \frac{1}{2} - \frac{n}{\sqrt{\beta}} \right) \right] \\ & + \frac{\sqrt{\alpha}}{\beta} \cos \left[ \pi\sqrt{\beta} \left( 1 - \frac{2n+1}{\sqrt{\alpha}} \right) \right] = 0 \end{aligned} \right\},$$

kde  $n \in \mathbb{N}$ .

$$S_m^- = \left\{ (\alpha, \beta) \in \Omega_n^- : (\beta, \alpha) \in S_m^+ \right\},$$

kde  $m \in \mathbb{N}$ .

*Důkaz.* Netriviální řešení  $u$  úlohy (4.2) musí splňovat Dirichletovu okrajovou podmínku  $u(0) = 0$ . Navíc je potřeba, aby netriviální řešení  $u$  úlohy (4.2) splňovalo i podmínku, která je v integrálním tvaru

$$\int_{\frac{\pi}{2}}^{\pi} u(x) dx = 0. \quad (4.5)$$

Při konstrukci jednotlivých Fučkových větví  $S_m^\pm$  úlohy (4.2) budeme postupovat podobně jako při konstrukci Fučkových větví  $R_m^\pm$  úlohy (3.1). Pro popis Fučkových větví  $S_m^\pm$  jsou ale nutné další omezující podmínky, které budou obsahovat parametr  $p$ . Tyto podmínky rozhodnou o rozložení nulových bodů netriviálních řešení  $u$  příslušejících jednotlivým Fučkovým větvím  $S_m^\pm$ . Nyní se podívejme na možné rozložení nulových bodů některých netriviálních řešení  $u$ , pro která platí  $u'(0) > 0$ . Uvažujme pouze případy, kdy  $\alpha > 0 \wedge \beta > 0$ .

1. Uvažujme netriviální řešení  $u$ , které nemá na intervalu  $(0, \pi)$  žádný nulový bod. Potom by  $u(x) > 0$ , a proto by  $\int_{\frac{\pi}{2}}^{\pi} u(x) dx > 0$  (viz [9], Věta 7.7, str. 129). Integrální podmínka (4.5) by tedy nebyla splněna.
2. Uvažujme netriviální řešení  $u$ , které má na intervalu  $(0, \pi)$  právě jeden nulový bod  $x_0$ . V tomto případě bude nutně  $p = \frac{\pi}{2} < x_0$ . Pokud by  $p = \frac{\pi}{2} \geq x_0$ , potom by  $u$  bylo záporné na intervalu  $(\frac{\pi}{2}, \pi)$ , a proto by  $\int_{\frac{\pi}{2}}^{\pi} u(x) dx < 0$ . Integrální podmínka (4.5) by tedy nebyla splněna.
3. Uvažujme netriviální řešení  $u$ , které má na intervalu  $(0, \pi)$  právě dva nulové body  $x_0$  a  $x_1$ , které splňují  $0 < x_0 < x_1 < \pi$ . V tomto případě bude nutně  $p = \frac{\pi}{2} < x_1$ . Pokud by  $p = \frac{\pi}{2} \geq x_1$ , potom by  $u$  bylo kladné na intervalu  $(\frac{\pi}{2}, \pi)$ , a proto by  $\int_{\frac{\pi}{2}}^{\pi} u(x) dx > 0$  (viz [9],

Věta 7.7, str. 129). Integrální podmínka (4.5) by tedy nebyla splněna.

Pokud  $p = \frac{\pi}{2} < x_0 < x_1$  nebo pokud  $x_0 < p = \frac{\pi}{2} < x_1$ , potom integrální podmínka může být splněna. Jednotlivá možná rozložení nulových bodů daného netriviálního řešení  $u$  nám pomáhají určit větve  $T_m^\pm$  Fučkova spektra pro úlohu (4.4). Větve  $P_m^\pm$  Fučkova spektra pro úlohu (4.3) od sebe oddělují Fučkovy větve  $S_m^\pm$ , kterým odpovídají netriviální řešení  $u$  s různým počtem nulových bodů na intervalu  $(0, \pi)$ . Fučkova větev  $S_2^+$  bude ležet mezi větvemi  $P_1^+$  a  $P_2^+$ . A zároveň ji bude protínat Fučkova větev  $T_0^+ = \{ (4, \beta) : \beta \in \mathbb{R} \}$ . Fučkova větev  $S_2^+$  bude tedy zřejmě určena sjednocením dvou částí, z nichž jedna bude popsána pro  $\alpha < 4$  a druhá bude popsána pro  $\alpha \geq 4$ . Označme tedy  ${}^1S_2^+ := S_2^+ \cap \{ (\alpha, \beta) \in \mathbb{R}^2 : \alpha < 4 \}$ ,  ${}^2S_2^+ := S_2^+ \cap \{ (\alpha, \beta) \in \mathbb{R}^2 : \alpha \geq 4 \}$ . Potom zřejmě  $S_2^+ = {}^1S_2^+ \cup {}^2S_2^+$ . Navíc pro  $(\alpha, \beta) \in {}^1S_2^+$  platí

$$\begin{aligned} \alpha &< 4, \\ \sqrt{\alpha} &< 2, \end{aligned}$$

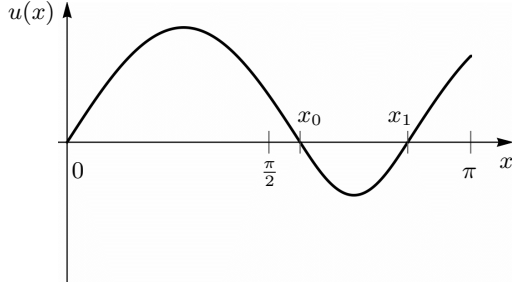
tj.

$$p = \frac{\pi}{2} < \frac{\pi}{\sqrt{\alpha}} = x_0.$$

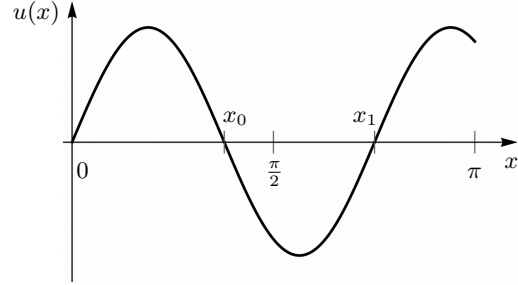
Dále pro  $(\alpha, \beta) \in {}^2S_2^+$  máme

$$p = \frac{\pi}{2} \geq \frac{\pi}{\sqrt{\alpha}} = x_0. \quad (4.6)$$

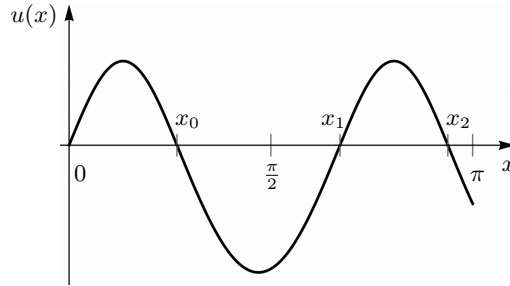
Netriviální řešení  $u$  úlohy (4.2) příslušná Fučíkovým větvím  ${}^1S_2^+$  a  ${}^2S_2^+$  jsou znázorněna na obrázcích 4.4 a 4.5.



Obrázek 4.4: Netriviální řešení  $u$  úlohy (4.2) příslušné Fučíkově větvi  ${}^1S_2^+$ .



Obrázek 4.5: Netriviální řešení  $u$  úlohy (4.2) příslušné Fučíkově větvi  ${}^2S_2^+$ .



Obrázek 4.6: Netriviální řešení  $u$  úlohy (4.2) příslušné Fučíkově větvi  $S_3^+$ .

4. Nyní uvažujme netriviální řešení  $u$ , které přísluší Fučíkově větvi  $S_3^+$ . Toto řešení má na intervalu  $(0, \pi)$  právě tři nulové body  $x_0, x_1$  a  $x_2$ , které splňují  $0 < x_0 < x_1 < x_2 < \pi$ . Potom zřejmě pro  $(\alpha, \beta) \in S_3^+$  platí

$$\frac{2\pi}{\sqrt{\alpha}} + \frac{2\pi}{\sqrt{\beta}} \geq \pi \quad (4.7)$$

a zároveň

$$\frac{2\pi}{\sqrt{\alpha}} + \frac{\pi}{\sqrt{\beta}} < \pi. \quad (4.8)$$

Pokud obě strany nerovnosti (4.7) vynásobíme číslem  $(1/2)$ , dostaneme

$$\frac{\pi}{\sqrt{\alpha}} + \frac{\pi}{\sqrt{\beta}} \geq \frac{\pi}{2}. \quad (4.9)$$

Protože  $\frac{\pi}{\sqrt{\alpha}} + \frac{\pi}{\sqrt{\beta}} = x_1$  a  $\frac{\pi}{2} = p$ , můžeme nerovnost (4.9) přepsat na tvar

$$p \leq x_1.$$

Vraťme se k nerovnosti (4.8). Dosadíme-li do ní za výraz  $\frac{\pi}{\sqrt{\alpha}} + \frac{\pi}{\sqrt{\beta}}$  z nerovnosti (4.9), dostaneme

$$\begin{aligned}\frac{\pi}{\sqrt{\alpha}} + \frac{\pi}{\sqrt{2}} &< \pi, \\ \frac{\pi}{\sqrt{\alpha}} &< \frac{\pi}{2}.\end{aligned}\tag{4.10}$$

Protože  $\frac{\pi}{\sqrt{\alpha}} = x_0$  a  $\frac{\pi}{2} = p$ , můžeme nerovnost (4.10) přepsat na tvar

$$p > x_0.$$

Zjistili jsme tedy, že pokud  $(\alpha, \beta) \in S_3^+$ , potom

$$x_0 < p \leq x_1,$$

což značí

$$\frac{\pi}{\sqrt{\alpha}} < \frac{\pi}{2} \leq \frac{\pi}{\sqrt{\alpha}} + \frac{\pi}{\sqrt{\beta}},$$

tj.

$$\frac{1}{\sqrt{\alpha}} < \frac{1}{2} \leq \frac{1}{\sqrt{\alpha}} + \frac{1}{\sqrt{\beta}}.\tag{4.11}$$

Jak jsme již na začátku tohoto bodu zmínili

$$\frac{2\pi}{\sqrt{\alpha}} + \frac{\pi}{\sqrt{\beta}} < \pi \leq \frac{2\pi}{\sqrt{\alpha}} + \frac{2\pi}{\sqrt{\beta}},$$

tj.

$$\frac{2}{\sqrt{\alpha}} + \frac{1}{\sqrt{\beta}} < 1 \leq \frac{2}{\sqrt{\alpha}} + \frac{2}{\sqrt{\beta}}.\tag{4.12}$$

Nerovnosti (4.11) a (4.12) určují region  $\Omega_3^+$ , na kterém je Fučíkova větev  $S_3^+$  popisována. Netriviální řešení  $u$  úlohy (4.2) příslušné Fučíkově větvi  $S_3^+$  je znázorněno na obrázku 4.6.

Nyní si ukážeme konstrukci Fučíkovy větve  ${}^1S_2^+$ , které odpovídá netriviální řešení  $u$  úlohy (4.2) s právě dvěma nulovými body na intervalu  $(0, \pi)$ , pro které platí  $p < x_0 < x_1$ . Předpokládejme, že dvojice  $(\alpha, \beta) \in {}^1S_2^+$  a že  $u'(0) > 0$ . Je zřejmé, že v tomto případě můžeme integrální podmínku (4.5) rozepsat do tvaru

$$\int_{\frac{\pi}{2}}^{x_0} v_1(x) dx + \int_{x_0}^{x_1} w(x) dx + \int_{x_1}^{\pi} v_2(x) dx = 0,\tag{4.13}$$

kde  $v_1(x) = A \sin \sqrt{\alpha}x$  ( $A > 0$ ) je předpokládaný tvar netriviálního řešení  $u$  na intervalu  $(0, x_0)$ ,

$$w(x) = B \sin \sqrt{\beta}(x - x_0), \quad B < 0,\tag{4.14}$$

je předpokládaný tvar netriviálního řešení  $u$  na intervalu  $(x_0, x_1)$  a

$$v_2(x) = C \sin \sqrt{\alpha}(x - x_1), \quad C > 0,\tag{4.15}$$

je předpokládaný tvar netriviálního řešení  $u$  na intervalu  $(x_1, \pi)$ . (Tyto tvary známe již z důkazu lemmatu 3.1.) Rovnici (4.13) tedy můžeme přepsat do tvaru

$$\int_{\frac{\pi}{2}}^{x_0} A \sin \sqrt{\alpha}x dx + \int_{x_0}^{x_1} B \sin \sqrt{\beta}(x - x_0) dx + \int_{x_1}^{\pi} C \sin \sqrt{\alpha}(x - x_1) dx = 0.\tag{4.16}$$

Do rovnice (4.16) dosadíme za nulové body  $x_0$  a  $x_1$  ze vztahů (viz důkaz lemmatu 2.1)

$$x_0 = \frac{\pi}{\sqrt{\alpha}}, \quad (4.17)$$

$$x_1 = \frac{\pi}{\sqrt{\alpha}} + \frac{\pi}{\sqrt{\beta}}. \quad (4.18)$$

Rovnice (4.16) bude potom ve tvaru

$$\int_{\frac{\pi}{2}}^{\frac{\pi}{\sqrt{\alpha}}} A \sin \sqrt{\alpha} x \, dx + \int_{\frac{\pi}{\sqrt{\alpha}}}^{\frac{\pi}{\sqrt{\alpha}} + \frac{\pi}{\sqrt{\beta}}} B \sin \sqrt{\beta} \left(x - \frac{\pi}{\sqrt{\alpha}}\right) \, dx + \int_{\frac{\pi}{\sqrt{\alpha}} + \frac{\pi}{\sqrt{\beta}}}^{\pi} C \sin \sqrt{\alpha} \left(x - \left(\frac{\pi}{\sqrt{\alpha}} + \frac{\pi}{\sqrt{\beta}}\right)\right) \, dx = 0. \quad (4.19)$$

Po provedení integrace v (4.19) dostáváme

$$\frac{A}{\sqrt{\alpha}} \left(1 + \cos \left(\sqrt{\alpha} \cdot \frac{\pi}{2}\right)\right) + 2 \cdot \frac{B}{\sqrt{\beta}} + \frac{C}{\sqrt{\alpha}} \left(1 + \cos \sqrt{\alpha} \left(\pi - \frac{\pi}{\sqrt{\beta}}\right)\right) = 0. \quad (4.20)$$

Hodnotu konstanty  $A > 0$  si můžeme zvolit. Protože ale požadujeme hladkost celého řešení, je potřeba konstantu  $B$  určit. Pokud zvolíme  $A = 1$ , bude pro konstantu  $B$  platit vztah (viz důkaz lemmatu 3.1)

$$B = -\frac{\sqrt{\alpha}}{\sqrt{\beta}}. \quad (4.21)$$

Konstantu  $C$  určíme ze vztahu

$$w'(x_1) = v_2'(x_1), \quad (4.22)$$

neboť požadujeme hladkost řešení i ve druhém bodu napojení  $x_1$ . Dosadíme-li do rovnice (4.22) za  $w$  ze vztahu (4.14) a za  $v_2$  ze vztahu (4.15), dostaneme

$$B\sqrt{\beta} \cos \sqrt{\beta}(x_1 - x_0) = C\sqrt{\alpha}. \quad (4.23)$$

Nyní dosadíme do rovnice (4.23) za  $B$  ze vztahu (4.21), za  $x_1$  ze vztahu (4.18) a za  $x_0$  ze vztahu (4.17). Dostaneme

$$\begin{aligned} -\frac{\sqrt{\alpha}}{\sqrt{\beta}} \cdot \sqrt{\beta} \cos \sqrt{\beta} \left(\frac{\pi}{\sqrt{\alpha}} + \frac{\pi}{\sqrt{\beta}} - \frac{\pi}{\sqrt{\alpha}}\right) &= C\sqrt{\alpha}, \\ -\sqrt{\alpha} \cos \pi &= C\sqrt{\alpha}, \\ \sqrt{\alpha} &= C\sqrt{\alpha}. \end{aligned} \quad (4.24)$$

Po přenásobení rovnice (4.24) výrazem  $1/\sqrt{\alpha}$  dostáváme

$$C = 1. \quad (4.25)$$

Vraťme se k rovnici (4.20). Dosadíme-li do ní  $C = 1$  (viz rovnost (4.25)),  $A = 1$  (zvoleno) a za  $B$  ze vztahu (4.21), dostaneme

$$\begin{aligned} \frac{1}{\sqrt{\alpha}} \left(1 + \cos \left(\sqrt{\alpha} \cdot \frac{\pi}{2}\right)\right) - 2\frac{\sqrt{\alpha}}{\beta} + \frac{1}{\sqrt{\alpha}} \left(1 + \cos \sqrt{\alpha} \left(\pi - \frac{\pi}{\sqrt{\beta}}\right)\right) &= 0, \\ \frac{2}{\sqrt{\alpha}} - \frac{2\sqrt{\alpha}}{\beta} + \frac{1}{\sqrt{\alpha}} \cos \left(\sqrt{\alpha} \cdot \frac{\pi}{2}\right) + \frac{1}{\sqrt{\alpha}} \cos \sqrt{\alpha} \left(\pi - \frac{\pi}{\sqrt{\beta}}\right) &= 0. \end{aligned} \quad (4.26)$$

Protože předpokládáme, že netriviální řešení  $u$  příslušné Fučíkově větvi  ${}^1S_2^+$  má právě dva nulové body, je nutné, aby byly splněny následující podmínky (viz důkaz lemmatu 3.1)

$$\frac{\pi}{\sqrt{\alpha}} + \frac{\pi}{\sqrt{\beta}} < \pi \leq \frac{2\pi}{\sqrt{\alpha}} + \frac{\pi}{\sqrt{\beta}}. \quad (4.27)$$

Zároveň jsme při rozepisování integrální podmínky (4.5) předpokládali, že bude platit  $p < x_0$ , tj.

$$\frac{\pi}{2} < \frac{\pi}{\sqrt{\alpha}}. \quad (4.28)$$

Vztah (4.26) společně s nerovnostmi (4.27) a (4.28) popisují Fučkovu větev  ${}^1S_2^+$ . Ostatní Fučkovy větve bychom konstruovali analogicky.

Nyní se blíže podívejme na případ, kdy  $(\alpha, \beta) \in S_1^+$  pro  $\beta = 0$ . Netriviální řešení  $u$  má v tomto případě právě jeden nulový bod  $x_0$  na intervalu  $(0, \pi)$ . Na intervalu  $(0, x_0)$  bude netriviální řešení  $u$  ve tvaru

$$v(x) = A \sin \sqrt{\alpha}x, \quad A > 0, \quad (4.29)$$

a na intervalu  $(x_0, \pi)$  bude ve tvaru

$$w(x) = B(x - x_0), \quad B < 0, \quad (4.30)$$

(viz důkaz lemmatu 3.1). Opět je potřeba, aby řešení  $u$  splňovalo integrální podmínku (4.5). Můžeme ji rozepsat do tvaru

$$\int_{\frac{\pi}{2}}^{x_0} v(x) dx + \int_{x_0}^{\pi} w(x) dx = 0. \quad (4.31)$$

Pokud do rovnice (4.31) dosadíme za  $v$  ze vztahu (4.29) a za  $w$  ze vztahu (4.30), dostaneme

$$\int_{\frac{\pi}{2}}^{x_0} A \sin \sqrt{\alpha}x dx + \int_{x_0}^{\pi} B(x - x_0) dx = 0. \quad (4.32)$$

Po dosazení za  $x_0$  ze vztahu (4.17) bude rovnice (4.32) ve tvaru

$$\int_{\frac{\pi}{2}}^{\frac{\pi}{\sqrt{\alpha}}} A \sin \sqrt{\alpha}x dx + \int_{\frac{\pi}{\sqrt{\alpha}}}^{\pi} B(x - \frac{\pi}{\alpha}) dx = 0. \quad (4.33)$$

Po provedení integrace v (4.33) dostáváme

$$\frac{A}{\sqrt{\alpha}} + \frac{A}{\sqrt{\alpha}} \cos\left(\sqrt{\alpha}\frac{\pi}{2}\right) + \frac{B\pi^2}{2} - \frac{B\pi^2}{\sqrt{\alpha}} + \frac{B\pi^2}{2\alpha} = 0. \quad (4.34)$$

Konstantu  $A > 0$  zvolme  $A = 1$ . Konstantu  $B$  pak určíme ze vztahu

$$v'(x_0) = w'(x_0), \quad (4.35)$$

protože požadujeme hladkost celého řešení. Dosadíme-li do rovnice (4.35) za  $v$  ze vztahu (4.29) a za  $w$  ze vztahu (4.30), dostaneme

$$A\sqrt{\alpha} \cos \sqrt{\alpha}x_0 = B. \quad (4.36)$$

Nyní dosadíme do rovnice (4.36)  $A = 1$  a za  $x_0$  ze vztahu (4.17), obdržíme

$$B = -\sqrt{\alpha}. \quad (4.37)$$

Vraťme se k rovnici (4.34) a dosadíme do ní  $A = 1$  a za  $B$  ze vztahu (4.37), dostaneme

$$\frac{1}{\sqrt{\alpha}} + \frac{1}{\sqrt{\alpha}} \cos\left(\sqrt{\alpha}\frac{\pi}{2}\right) - \frac{\sqrt{\alpha}\pi^2}{2} + \frac{\sqrt{\alpha}\pi^2}{\sqrt{\alpha}} - \frac{\sqrt{\alpha}\pi^2}{2\alpha} = 0. \quad (4.38)$$

Po přenásobení rovnice (4.38) výrazem  $2\sqrt{\alpha}$  dostáváme

$$\begin{aligned} 2 + 2 \cos\left(\sqrt{\alpha}\frac{\pi}{2}\right) - \alpha\pi^2 - \pi^2 + 2\sqrt{\alpha}\pi^2 &= 0, \\ 2 + 2 \cos\left(\sqrt{\alpha}\frac{\pi}{2}\right) - \pi^2(\alpha + 1 - 2\sqrt{\alpha}) &= 0, \\ 2 + 2 \cos\left(\sqrt{\alpha}\frac{\pi}{2}\right) - \pi^2(\sqrt{\alpha} - 1)^2 &= 0. \end{aligned} \quad (4.39)$$

Nulový bod  $x_0$  netriviálního řešení  $u$  leží v intervalu  $(0, \pi)$ , splňuje tedy podmínku

$$x_0 < \pi. \quad (4.40)$$

Pokud dosadíme do podmínky (4.40) za  $x_0$  ze vztahu (4.17), dostaneme

$$\begin{aligned} \frac{\pi}{\sqrt{\alpha}} &< \pi, \\ \sqrt{\alpha} &> 1, \\ \alpha &> 1. \end{aligned}$$

Definujme funkci  $f$  pomocí levé strany rovnice (4.39)

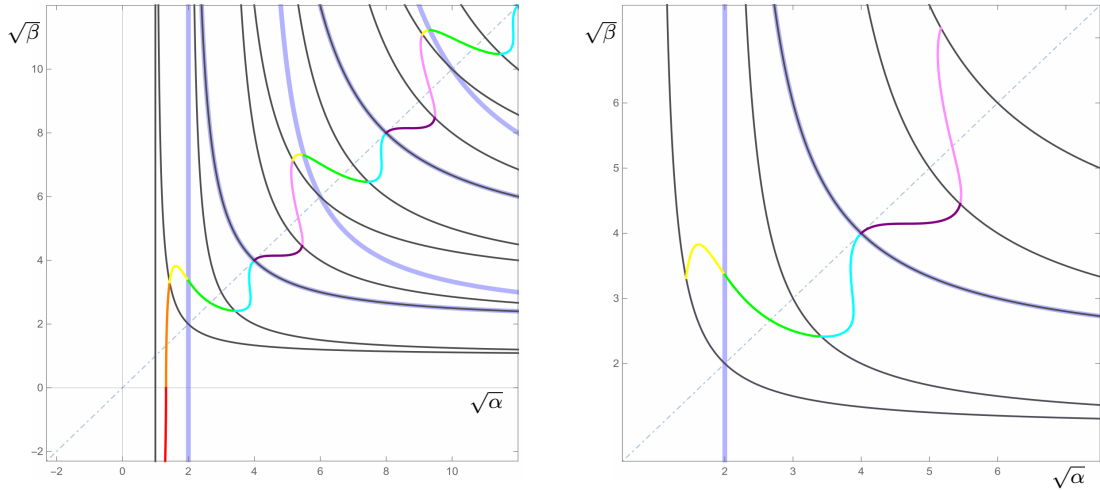
$$f(\alpha) := 2 + 2 \cos\left(\sqrt{\alpha}\frac{\pi}{2}\right) - \pi^2(\sqrt{\alpha} - 1)^2, \quad D(f) := \langle 1; +\infty \rangle.$$

Funkce  $f$  je spojitá na svém definičním oboru. Navíc

$$f(1) = 2, \quad \lim_{x \rightarrow +\infty} f(\alpha) = -\infty,$$

tj. bude existovat alespoň jeden kořen  $\tilde{\alpha}$  rovnice  $f(\alpha) = 0$ . Přibližná hodnota  $\tilde{\alpha}$  je  $\tilde{\alpha} \doteq 1.75$ . Bodem napojení Fučkových větví  ${}^1S_1^+$  a  ${}^2S_1^+$  bude tedy bod  $(\tilde{\alpha}, 0)$ . ■

Struktura Fučkovy spektra pro úlohu (4.2) je znázorněna na níže uvedeném obrázku 4.8.



Obrázek 4.7: Na levém obrázku je část Fučkovy spektra pro úlohu (4.2), která je určena sjednocením Fučkových větví  $S_m^+$ . A na pravém obrázku je znázorněna množina  $\Psi_1^+$  Fučkovy spektra pro úlohu (4.2).

**Poznámka 4.3.** Na závěr této podkapitoly si všimněme, že Fučíkovo spektrum úlohy (4.2) lze také vyjádřit jako

$$\Sigma = S_1 \cup \left( \bigcup_{n=1}^{+\infty} \Psi_n \right),$$

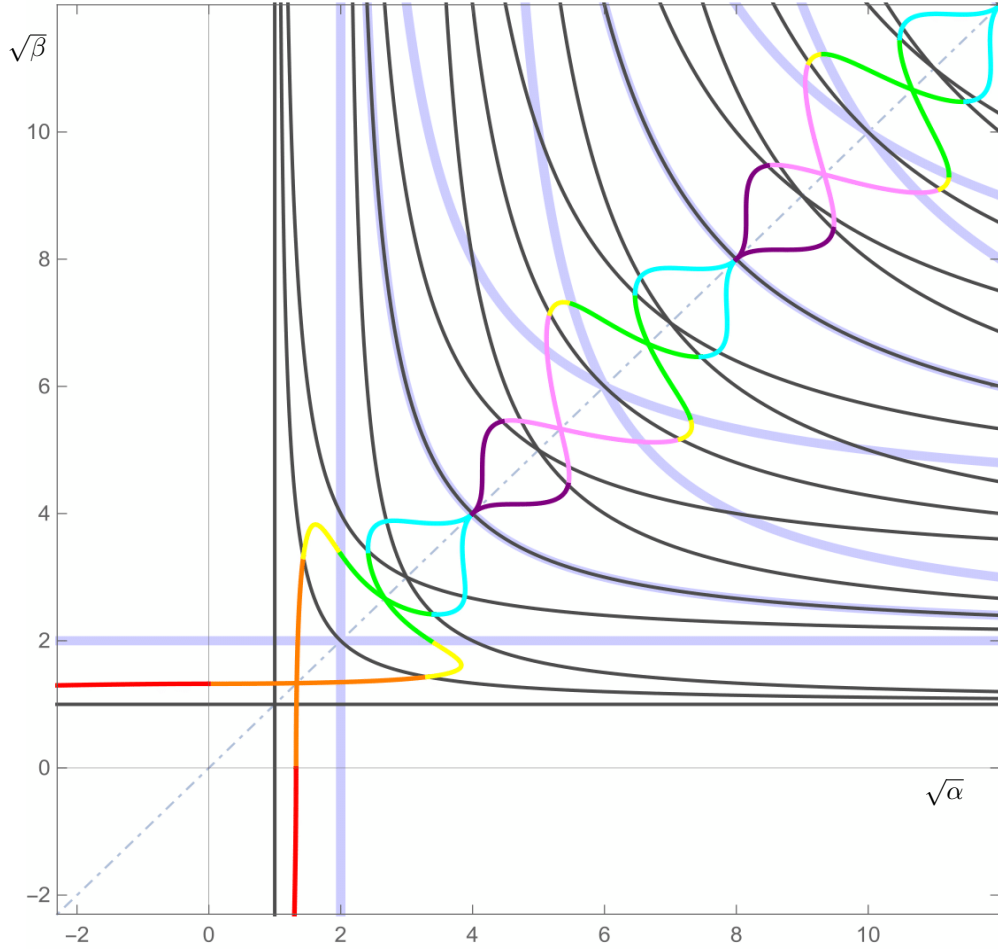
kde  $S_1 := S_1^+ \cup S_2^+$  a  $\Psi_n := \Psi_n^+ \cup \Psi_n^-$ ,

$$\Psi_n^+ := S_{4n-2}^+ \cup S_{4n-1}^+ \cup S_{4n}^+ \cup S_{4n+1}^+,$$

$$\Psi_n^- := S_{4n-2}^- \cup S_{4n-1}^- \cup S_{4n}^- \cup S_{4n+1}^-.$$

Množina  $\Psi_{n+1}$  tvoří jistý blok Fučíkových větví, který je určitým způsobem blízký svému předchůdci  $\Psi_n$ .

Obraz množiny  $\Psi_1^+$  je zakreslen na výše uvedeném obrázku 4.7.



Obrázek 4.8: Fučíkovo spektrum  $\Sigma$  pro úlohu (4.2). Jednotlivé větve  $S_m^\pm$  Fučíkova spektra pro úlohu (4.2) jsou odděleny větvemi  $P_m^\pm$  Fučíkova spektra pro úlohu (4.3) (tmavě šedé křivky) a větvemi  $T_m^\pm$  Fučíkova spektra pro úlohu (4.4) (světle modré křivky).



## 4.2 Popis Fučíkova spektra pro $0 < p < \pi$

Na začátek této podkapitoly definujeme množinu

$$\Psi_n^+ := S_{rn-c}^+ \cup S_{rn-c+1}^+ \cup \dots \cup S_{r(n+1)-c-1}^+, \quad (4.41)$$

kde  $n, r \in \mathbb{N}$  a  $c \in \mathbb{Z}$ . Množinu  $\Psi_n^+$  budeme nazývat opakujícím se blokem Fučíkova spektra úlohy (4.1). Parametr  $r$  odpovídá počtu po sobě jdoucích Fučíkových větví  $S_m^+$ , které tvoří opakující se blok Fučíkova spektra úlohy (4.1). Parametr  $c$  odpovídá určitému posunu, který určí, kterou větví opakující se blok Fučíkova spektra pro úlohu (4.1) začne. Je potřeba, aby konstanta  $c$  splňovala podmínku  $c \leq r - 1$ , která zajistí, že netriviální řešení  $u$  příslušná Fučíkovým větvím  $S_m^+$ , budou mít alespoň jeden nulový bod na intervalu  $(0, \pi)$ .

**Poznámka 4.4.** Pro hodnotu parametru  $p = \frac{\pi}{2}$ , je hodnota parametru  $r = 4$  a hodnota parametru  $c = 2$ .

Nyní si popíšeme algoritmus, který nám vypočítá počet všech předpisů pro Fučíkovy větve  $S_m^+$ , které tvoří opakující se blok Fučíkova spektra pro úlohu (4.1). Označme tento počet písmenem  $s$ .

**Příklad.** Pro úlohu (4.2) bude platit  $s = 5$ , protože Fučíkovy větve  $S_{4n-1}^+$ ,  $S_{4n}^+$ ,  $S_{4n+1}^+$  jsou popsány jedním předpisem a pro popis Fučíkovy větve  $S_{4n-2}^+$  potřebujeme dva předpisy.

Přejděme k jednotlivým krokům algoritmu.

1. Jediným vstupním parametrem je hodnota parametru  $p$ . (Parametrem  $p$  rozumíme dolní mez integrálu, který tvoří integrální podmínku úlohy (4.1).) Hodnotu parametru  $p$  volíme jako libovolný  $k$ -násobek  $\pi$ , kde  $k \in (0, 1) \cap \mathbb{Q}$ .
2. Nejprve si vytvoříme posloupnosti vlastních čísel Dirichletových okrajových úloh

$$\begin{cases} u''(x) + \lambda u(x) = 0, & x \in (0, \pi), \\ u(0) = u(\pi) = 0, \end{cases} \quad (4.42)$$

a

$$\begin{cases} u''(x) + \lambda u(x) = 0, & x \in (0, p), \\ u(0) = u(p) = 0, \end{cases} \quad (4.43)$$

kde  $\lambda \in \mathbb{R}$  je parametr. Posloupnost vlastních čísel úlohy (4.42) označme jako  $(\mu_i)$ , posloupnost vlastních čísel úlohy (4.43) označme jako  $(\nu_j)$ . Z lematu 1.2 víme, že  $\mu_i = i^2$ ,  $i \in \mathbb{N}$  a  $\nu_j = \left(\frac{j\pi}{p}\right)^2$ ,  $j \in \mathbb{N}$ .

**Poznámka 4.5.** Uvažujme úlohy

$$\begin{cases} u''(x) + \alpha u^+(x) - \beta u^-(x) = 0, & x \in (0, \pi), \\ u(0) = u(\pi) = 0, \end{cases} \quad (4.44)$$

a

$$\begin{cases} u''(x) + \alpha u^+(x) - \beta u^-(x) = 0, & x \in (0, p), \\ u(0) = u(p) = 0, \end{cases} \quad (4.45)$$

kde  $u^+(x) := \max\{u(x), 0\}$ ,  $u^-(x) := \max\{-u(x), 0\}$  a  $p \in (0, \pi)$ ,  $\alpha, \beta \in \mathbb{R}$  jsou parametry. Větve Fučíkova spektra pro úlohu (4.44) procházejí na diagonále body  $(\mu_i, \mu_i)$ ,  $i \in \mathbb{N}$ , jejichž souřadnice jsou dány vlastními čísly úlohy (4.42). Stejně tak větve Fučíkova spektra pro úlohu (4.45) procházejí na diagonále body  $(\nu_j, \nu_j)$ ,  $j \in \mathbb{N}$ , jejichž souřadnice jsou dány vlastními čísly úlohy (4.43). Díky vlastním číslům úloh (4.42) a (4.43) můžeme v blízkosti diagonály  $\alpha = \beta$  sledovat vzájemnou polohu větví Fučíkových spekter úloh (4.44) a (4.45).

3. Hledáme  $i_1$  a  $j_1$ , což jsou indexy nejmenších vlastních čísel, pro která platí  $\mu_{i_1} = \nu_{j_1}$ .

**Poznámka 4.6.** Nyní je zřejmé, proč hodnotu parametru  $p$  volíme jako libovolný  $k$ -násobek  $\pi$ . Chceme-li najít vlastní čísla úloh (4.42) a (4.43), pro která platí,  $\mu_i = \nu_j$ , je potřeba, aby  $\nu_j \in \mathbb{Q}$ .

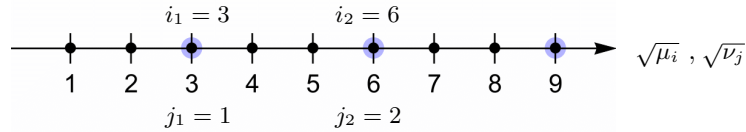
4. Hledáme  $i_2$  a  $j_2$ , což jsou indexy druhých nejmenších vlastních čísel, pro která platí  $\mu_{i_2} = \nu_{j_2}$ .

**Poznámka 4.7.** Body  $(\mu_{i_1}, \mu_{i_1})$  a  $(\nu_{j_1}, \nu_{j_1})$  jsou totožné. Větve Fučíkových spekter pro úlohy (4.44) a (4.45), které těmito body procházejí, mají společný průsečík a mohou splývat. Stejně tak body  $(\mu_{i_2}, \mu_{i_2})$  a  $(\nu_{j_2}, \nu_{j_2})$  jsou totožné. A větve Fučíkových spekter pro úlohy (4.44) a (4.45), které těmito body procházejí, mají společný průsečík a mohou splývat.

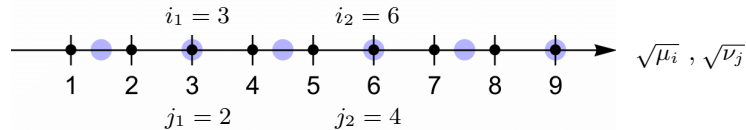
5. Platí  $(i_1 \bmod 2) = (i_2 \bmod 2) \wedge (j_1 \bmod 2) = (j_2 \bmod 2)$ ?

- (a) Pokud ano, vlastní čísla s indexy  $i_2, j_2$  uzavírají opakující se blok větví Fučíkova spektra pro úlohu (4.1) a můžeme pokračovat bodem 6.
- (b) Pokud ne, hledáme  $i_3$  a  $j_3$ , což jsou indexy třetích nejmenších vlastních čísel, pro která platí  $\mu_{i_3} = \nu_{j_3}$ . Budeme předpokládat, že vlastní čísla s indexy  $i_3, j_3$  již uzavírají opakující se blok větví Fučíkova spektra pro úlohu (4.1). Pokračujeme bodem 6.

**Poznámka 4.8.** Z kapitoly 2 už víme, že body  $(\mu_i, \mu_i)$ , pro které platí  $i = 1, 3, 5, \dots$ , procházejí dvě větve Fučíkova spektra pro úlohu (4.44). Body  $(\mu_i, \mu_i)$ , pro které platí  $i = 2, 4, 6, \dots$ , prochází jedna větev Fučíkova spektra pro úlohu (4.44). Stejně tak body  $(\nu_j, \nu_j)$ , pro které platí  $j = 1, 3, 5, \dots$ , procházejí dvě větve Fučíkova spektra pro úlohu (4.45). A body  $(\nu_j, \nu_j)$ , pro které platí  $j = 2, 4, 6, \dots$ , prochází jedna větev Fučíkova spektra pro úlohu (4.45). Proto nás zajímá, zda mají vlastní čísla  $\mu_{i_1}, \mu_{i_2}, \nu_{j_1}, \nu_{j_2}$  sudé či liché indexy. Vzájemná poloha vlastních čísel úloh (4.42) a (4.43) je znázorněna na obrázcích 4.9 a 4.10.



Obrázek 4.9: Posloupnost  $(\mu_i)$  je zobrazena pomocí černých bodů, posloupnost  $(\nu_j)$  je zobrazena pomocí světle modrých bodů. (V úloze (4.43) uvažujeme  $p = \frac{\pi}{3}$ .)



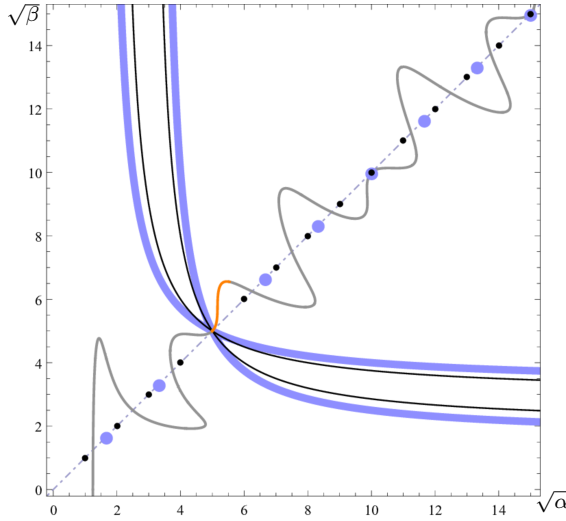
Obrázek 4.10: Posloupnost  $(\mu_i)$  je zobrazena pomocí černých bodů, posloupnost  $(\nu_j)$  je zobrazena pomocí světle modrých bodů. (V úloze (4.43) uvažujeme  $p = \frac{2\pi}{3}$ .)

6. Platí  $(i_1 \bmod 2) = (j_1 \bmod 2)$ ?

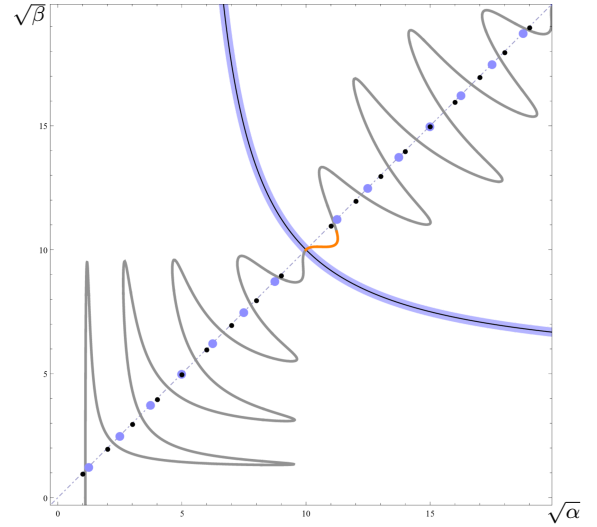
- (a) Pokud ano, znamená to, že bodem  $(\mu_{i_1}, \mu_{i_1}) = (\nu_{j_1}, \nu_{j_1})$  prochází čtyři (dvě) větve Fučíkových spekter pro úlohy (4.44) a (4.45). Situace, kdy bodem  $(\mu_{i_1}, \mu_{i_1}) = (\nu_{j_1}, \nu_{j_1})$

prochází čtyři Fučikovy větve, je zobrazena na obrázku 4.11(a). Mezi bodem  $(\mu_{i_1}, \mu_{i_1}) = (\nu_{j_1}, \nu_{j_1})$  a bodem  $(\mu_{i_1+1}, \mu_{i_1+1})$  (případně bodem  $(\nu_{j_1+1}, \nu_{j_1+1})$ ) je větev  $S_m^+$  Fučikova spektra pro úlohu (4.1), která lze popsat jedním předpisem.

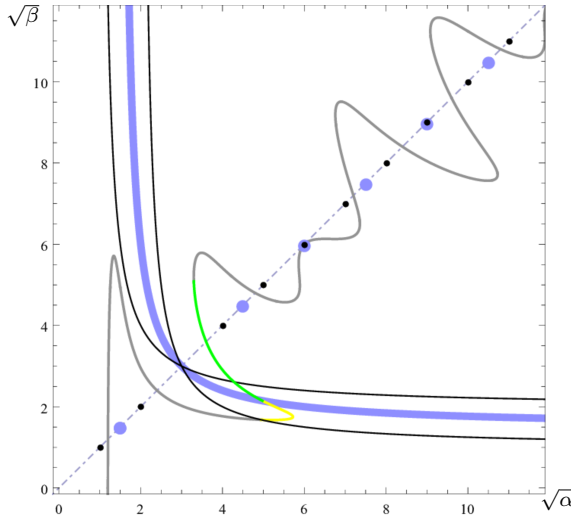
- (b) Pokud ne, znamená to, že bodem  $(\mu_{i_1}, \mu_{i_1}) = (\nu_{j_1}, \nu_{j_1})$  prochází tři větve Fučikových spekter pro úlohy (4.44) a (4.45). Tyto situace jsou vidět na obrázku 4.11(c) a na obrázku 4.11(d). Mezi bodem  $(\mu_{i_1}, \mu_{i_1}) = (\nu_{j_1}, \nu_{j_1})$  a bodem  $(\mu_{i_1+1}, \mu_{i_1+1})$  (případně bodem  $(\nu_{j_1+1}, \nu_{j_1+1})$ ) je větev  $S_m^+$  Fučikova spektra pro úlohu (4.1), která je určena sjednocením dvou částí (platí  $S_m^+ = {}^1S_m^+ \cup {}^2S_m^+$ ).



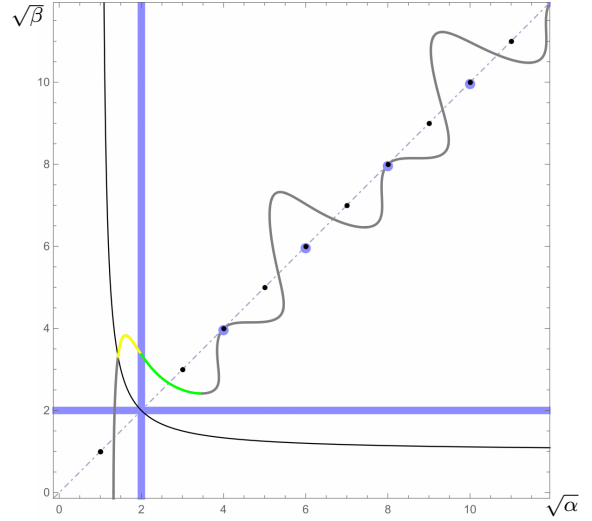
(a) Část Fučikova spektra pro úlohu (4.1). ( $p = \frac{3\pi}{5}$ )



(b) Část Fučikova spektra pro úlohu (4.1). ( $p = \frac{4\pi}{5}$ )



(c) Část Fučikova spektra pro úlohu (4.1) ( $p = \frac{2\pi}{3}$ )



(d) Část Fučikova spektra pro úlohu (4.1) ( $p = \frac{\pi}{2}$ )

Obrázek 4.11: Šedivá křivka zobrazuje část Fučikova spektra pro úlohu (4.1). Barevně vyznačené křivky (oranžová, žlutá a zelená) ukazují, z kolika částí je složena větev Fučikova spektra pro úlohu (4.1), která leží mezi bodem  $(\mu_i, \mu_i) = (\nu_j, \nu_j)$  a bodem  $(\mu_{i+1}, \mu_{i+1})$ . Černé křivky jsou větve Fučikova spektra pro úlohu (4.44) a modré křivky (přímky) jsou větve Fučikova spektra pro úlohu (4.45). Posloupnost vlastních čísel úlohy (4.42) je zobrazena pomocí černých bodů, posloupnost vlastních čísel úlohy (4.43) je zobrazena pomocí modrých bodů.

7. Platí  $(i_1 \bmod 2) = (i_2 \bmod 2) \wedge (j_1 \bmod 2) = (j_2 \bmod 2)$ ?

(a) Pokud ano, pokračujme bodem 8.

(b) Pokud ne, následuje otázka: Platí  $(i_2 \bmod 2) = (j_2 \bmod 2)$ ?

i. Pokud ano, znamená to, že bodem  $(\mu_{i_2}, \mu_{i_2}) = (\nu_{j_2}, \nu_{j_2})$  prochází čtyři (dvě) větve Fučíkových spekter pro úlohy (4.44) a (4.45). Situace, kdy bodem  $(\mu_{i_2}, \mu_{i_2}) = (\nu_{j_2}, \nu_{j_2})$  prochází dvě Fučíkovy větve, je zobrazena na obrázku 4.11(b). Mezi bodem  $(\mu_{i_2}, \mu_{i_2}) = (\nu_{j_2}, \nu_{j_2})$  a bodem  $(\mu_{i_2+1}, \mu_{i_2+1})$  (případně bodem  $(\nu_{j_2+1}, \nu_{j_2+1})$ ) je větev  $S_m^+$  Fučíkova spektra pro úlohu (4.1), která lze popsat jedním předpisem.

ii. Pokud ne, znamená to, že bodem  $(\mu_{i_2}, \mu_{i_2}) = (\nu_{j_2}, \nu_{j_2})$  prochází tři větve Fučíkových spekter pro úlohy (4.44) a (4.45). Mezi bodem  $(\mu_{i_2}, \mu_{i_2}) = (\nu_{j_2}, \nu_{j_2})$  a bodem  $(\mu_{i_2+1}, \mu_{i_2+1})$  (případně bodem  $(\nu_{j_2+1}, \nu_{j_2+1})$ ) je větev  $S_m^+$  Fučíkova spektra pro úlohu (4.1), která je určena sjednocením dvou částí (platí  $S_m^+ = {}^1S_m^+ \cup {}^2S_m^+$ ).

8. Platí  $(i_1 \bmod 2) = (i_2 \bmod 2) \wedge (j_1 \bmod 2) = (j_2 \bmod 2)$ ?

(a) Pokud ano,  $s = (i_2 - i_1 - 1) + (j_2 - j_1 - 1) +$  počet částí, ze kterých je složena větev  $S_m^+$  Fučíkova spektra pro úlohu (4.1), která leží mezi bodem  $(\mu_{i_1}, \mu_{i_1}) = (\nu_{j_1}, \nu_{j_1})$  a bodem  $(\mu_{i_1+1}, \mu_{i_1+1})$  (případně bodem  $(\nu_{j_1+1}, \nu_{j_1+1})$ ) (viz bod 6).

(b) Pokud ne,  $s = (i_3 - i_1 - 2) + (j_3 - j_1 - 2) +$  počet částí, ze kterých je složena větev  $S_m^+$  Fučíkova spektra pro úlohu (4.1), která leží mezi bodem  $(\mu_{i_1}, \mu_{i_1}) = (\nu_{j_1}, \nu_{j_1})$  a bodem  $(\mu_{i_1+1}, \mu_{i_1+1})$  (případně bodem  $(\nu_{j_1+1}, \nu_{j_1+1})$ ) (viz bod 6) + počet částí, ze kterých je složena větev  $S_m^+$  Fučíkova spektra pro úlohu (4.1), která leží mezi bodem  $(\mu_{i_2}, \mu_{i_2}) = (\nu_{j_2}, \nu_{j_2})$  a bodem  $(\mu_{i_2+1}, \mu_{i_2+1})$  (případně bodem  $(\nu_{j_2+1}, \nu_{j_2+1})$ ) (viz bod 7(b)).

### 4.3 Numerická aproximace Fučíkova spektra

Popišme si algoritmus, který numericky sestrojí libovolnou část Fučíkova spektra pro úlohu (4.1) v obdélníku  $D := \langle \alpha_{min}, \alpha_{max} \rangle \times \langle \beta_{min}, \beta_{max} \rangle$ , kde  $\alpha_{min}, \alpha_{max}, \beta_{min}, \beta_{max} \in \mathbb{R}$ . Úlohu (4.1) převedeme na úlohu

$$\begin{cases} u''(x) + \hat{\alpha}u^+(x) - \beta u^-(x) = 0, & x \in (0, \pi), \\ u(0) = 0, \int_p^\pi u(x) dx = 0, \end{cases} \quad (4.46)$$

kde  $\hat{\alpha}$  je pevně zvolená hodnota parametru  $\alpha$  z intervalu  $\langle \alpha_{min}, \alpha_{max} \rangle$ . Teď tedy hledáme takové hodnoty parametru  $\beta$  tvořící dvojice  $(\hat{\alpha}, \beta) \in D$ , pro které má úloha (4.46) netriviální řešení  $u$ . Úlohu (4.46) převedeme na počáteční úlohu

$$\begin{cases} u''(x) + \hat{\alpha}u^+(x) - \beta u^-(x) = 0, & x \in (0, \pi), \\ u(0) = 0, \\ u'(0) = 1. \end{cases} \quad (4.47)$$

**Poznámka 4.9.** Místo podmínky  $u'(0) = 1$  bychom mohli zvolit i jakoukoliv jinou podmínku ve tvaru  $u'(0) = l$ , kde  $l \in \mathbb{R} \setminus \{0\}$ . Pokud totiž funkce  $u$  je netriviálním řešením úlohy (4.1), je i funkce  $u$  přenásobená libovolnou kladnou konstantou netriviálním řešením této úlohy. Pokud uvažujeme počáteční podmínku ve tvaru  $u'(0) = z$ , kde  $z \in \mathbb{R}^-$ , sestrojí nám tento algoritmus část Fučíkova spektra, které je určeno sjednocením větví  $S_m^-$ .

Stále hledáme netriviální řešení úlohy (4.1). Proto netriviální řešení  $u$  úlohy (4.47) musí splňovat i integrální podmínku

$$\int_p^\pi u(x) dx = 0.$$

A proto hledáme nulové body funkce  $F : \beta \rightarrow \int_p^\pi u(x) dx$ . Tj., řešíme rovnici

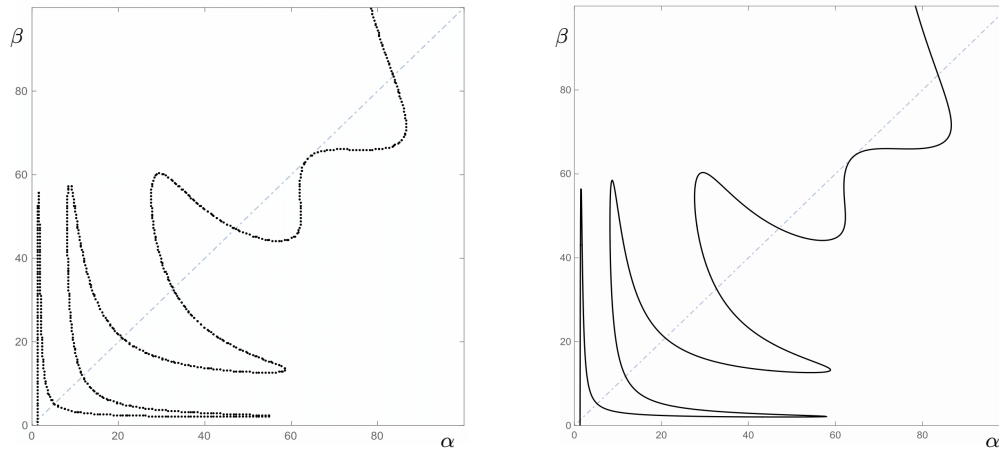
$$F(\beta) = 0. \quad (4.48)$$

Nyní si popíšeme samotný algoritmus.

1. Požadujeme tato vstupní data:  $\hat{\alpha}$ ,  $\hat{\alpha} \in \langle \alpha_{min}, \alpha_{max} \rangle$ , uspořádaný seznam hodnot parametru  $\beta_k$  ( $k = 1, \dots, r$ ,  $r \in \mathbb{N}$ ),  $\beta_k \in \langle \beta_{min}, \beta_{max} \rangle$ , hodnotu parametru  $p$ ,  $p \in (0, \pi)$  a požadovanou přesnost  $\varepsilon$ ,  $\varepsilon > 0$ .
2. Pro každý bod  $(\hat{\alpha}, \beta_k)$  najdeme funkci  $u$ , která je netriviálním řešením počáteční úlohy (4.47) a vypočteme  $F(\beta_k)$ .
3. Pokud  $F(\beta_k) \cdot F(\beta_{k+1}) < 0$ , potom  $I = \langle \beta_k, \beta_{k+1} \rangle$  bude počátečním intervalem pro metodu bisekce.
4. Pomocí metody bisekce nalezneme  $\beta_0$ , což je aproximace kořene rovnice (4.48) s chybou menší než  $\varepsilon$ .
5. Bod  $(\hat{\alpha}, \beta_0)$  je dobrou aproximací bodu Fučíkova spektra, a vykreslíme ho do grafu.

Nyní jsme si vykreslili část Fučíkova spektra ležící na přímce  $\alpha = \hat{\alpha}$ . Postupně budeme volit další hodnoty parametru  $\alpha$  z intervalu  $\langle \alpha_{min}, \alpha_{max} \rangle$ , pro které provedeme výše popsaný algoritmus a to do té doby, dokud nám program nevygeneruje Fučíkovo spektrum v požadovaném rozsahu  $\langle \alpha_{min}, \alpha_{max} \rangle \times \langle \beta_{min}, \beta_{max} \rangle$ .

Abychom našli co nejvíce bodů Fučíkova spektra, celý algoritmus zopakujeme ještě jednou. Jen v úloze (4.46) nebude již parametr  $\alpha$  pevně zvolen. Namísto toho si pevně zvolíme hodnotu parametru  $\beta$  z intervalu  $\langle \beta_{min}, \beta_{max} \rangle$ . Označme tuto hodnotu jako  $\hat{\beta}$ . Nakonec tedy budeme postupně vykreslovat body Fučíkova spektra ležící na přímkách  $\beta = \hat{\beta}$ . Obrázek 4.12 porovnává Fučíkovo spektrum sestavené pomocí výše popsaného algoritmu s Fučíkovým spektrem sestaveným pomocí programu Mathematica a příkazu ContourPlot.



Obrázek 4.12: Část Fučíkova spektra pro úlohu (4.1) pro hodnotu parametru  $p = \frac{3\pi}{4}$ . Vlevo sestavené numericky, vpravo vytvořené pomocí programu Mathematica a příkazu ContourPlot.

# Závěr

Cílem této bakalářské práce bylo prozkoumat po částech lineární úlohu s nelokální okrajovou podmínkou

$$\begin{cases} u''(x) + \alpha u^+(x) - \beta u^-(x) = 0, & x \in (0, \pi), \\ u(0) = 0, \int_0^\pi u(x) dx = 0, \end{cases} \quad (A)$$

a po částech lineární úlohu se zobecněnou nelokální okrajovou podmínkou

$$\begin{cases} u''(x) + \alpha u^+(x) - \beta u^-(x) = 0, & x \in (0, \pi), \\ u(0) = 0, \int_p^\pi u(x) dx = 0, & 0 \leq p < \pi. \end{cases} \quad (B)$$

Hledali jsme všechny dvojice  $(\alpha, \beta) \in \mathbb{R}^2$  takové, pro které mají úlohy (A) a (B) netriviální řešení. Motivací ke stanovení tohoto cíle byl článek [3]. Autorka v něm uvádí popis Fučíkova spektra pro úlohu (A). My jsme v této práci uvažovali úlohu (B), která je pro volbu parametru  $p = 0$  úlohou (A).

V kapitole 1 jsme zkoumali lineární úlohu s Dirichletovými okrajovými podmínkami. Odvodili jsme tvar vlastních čísel a jim odpovídajících vlastních funkcí. Na závěr této kapitoly jsme ukázali, že pokud známe vlastní čísla a jim odpovídající vlastní funkce na určitém intervalu, potom tvar vlastních čísel a jim odpovídajících vlastních funkcí na libovolném jiném intervalu získáme jednoduchou transformací.

V kapitole 2 jsme se zabývali po částech lineární úlohou s Dirichletovými okrajovými podmínkami. Detailně jsme popsali, jak jsme získali analytický popis Fučíkova spektra pro tuto úlohu. Také jsme ukázali, že větve Fučíkova spektra této úlohy jsou symetrické dle diagonály  $\alpha = \beta$ .

V kapitole 3 jsme uvažovali úlohu (A). Popis Fučíkova spektra pro tuto úlohu v prvním kvadrantu roviny  $\mathbb{R}^2$  je uveden v článku [3]. V této práci je uveden popis Fučíkova spektra na celé rovině  $\mathbb{R}^2$ . Celý postup analytického odvození Fučíkova spektra pro úlohu (A) jsme podrobně rozebrali.

Čtvrtá kapitola je věnována studiu úlohy (B). V první části jsme zformulovali větu (4.1), která popisuje Fučíkovo spektrum pro úlohu (B) pro hodnotu parametru  $p = \frac{\pi}{2}$ . V druhé části jsme uvedli algoritmus, který vypočítá počet parametrických analytických předpisů pro Fučíkovy větve, které tvoří opakující se blok Fučíkova spektra pro úlohu (B). Tento počet ilustruje komplikovanost úlohy (B) pro různé hodnoty parametru  $p$ . V poslední části jsme uvedli algoritmus pro numerickou konstrukci Fučíkova spektra pro úlohu (B). Všechny výsledky v této kapitole jsou původní.

# Literatura

- [1] Coddington, E. A.; Levinson, N.: Theory of ordinary differential equations. New York, Toronto, London: McGill-Hill Book Company, Inc. XII, 429 p. (1955).
- [2] Fučík, S.: Solvability of nonlinear equations and boundary value problems. Mathematics and its Applications, 4. Dordrecht - Boston - London: D. Reidel Publishing Company. X, 390 p. (1980).
- [3] Sergejeva, N.: On nonlinear spectra for some nonlocal boundary value problems. Math. Model. Anal. 13 (1) (2008) 87–97.
- [4] Štikonas, A.: The Sturm-Liouville problem with a nonlocal boundary condition. Lith. Math. J. 47, No. 3, 336-351 (2007); reprint from Liet. Mat. Rink. 47, No. 3, 410-428 (2007).
- [5] Čiupaila, R.; Jesevičiūtė, Ž.; Sapagovas, M.: On the eigenvalue problem for one-dimensional differential operator with nonlocal integral condition. Nonlinear Anal., Model. Control 9, No. 2, 109-116 (2004).
- [6] Pečiulytė, S.; Štikonienė, O.; Štikonas, A.: Sturm-Liouville problem for stationary differential operator with nonlocal integral boundary condition. Math. Model. Anal. 10, No. 4, 377-392 (2005).
- [7] Pečiulytė, S.; Štikonas, A.: Sturm-Liouville problem for stationary differential operator with nonlocal two-point boundary conditions. Nonlinear Anal., Model. Control 11, No. 1, 47-78 (2006).
- [8] Nagy, J.: Elementární metody řešení obyčejných diferenciálních rovnic, MVŠT, SNTL Praha, 120s. (1983).
- [9] Drábek P., J.; Míka, S.: Matematická analýza I, ZČU Plzeň, 158s. (1999).